

Robotika in računalniško zaznavanje (RRZ)

Regije

Danijel Skočaj

Univerza v Ljubljani

Fakulteta za računalništvo in informatiko

Literatura: W. Burger, M. J. Burge (2008).

Digital Image Processing, poglavja 10, 11

v1.0

Morfološki filtri

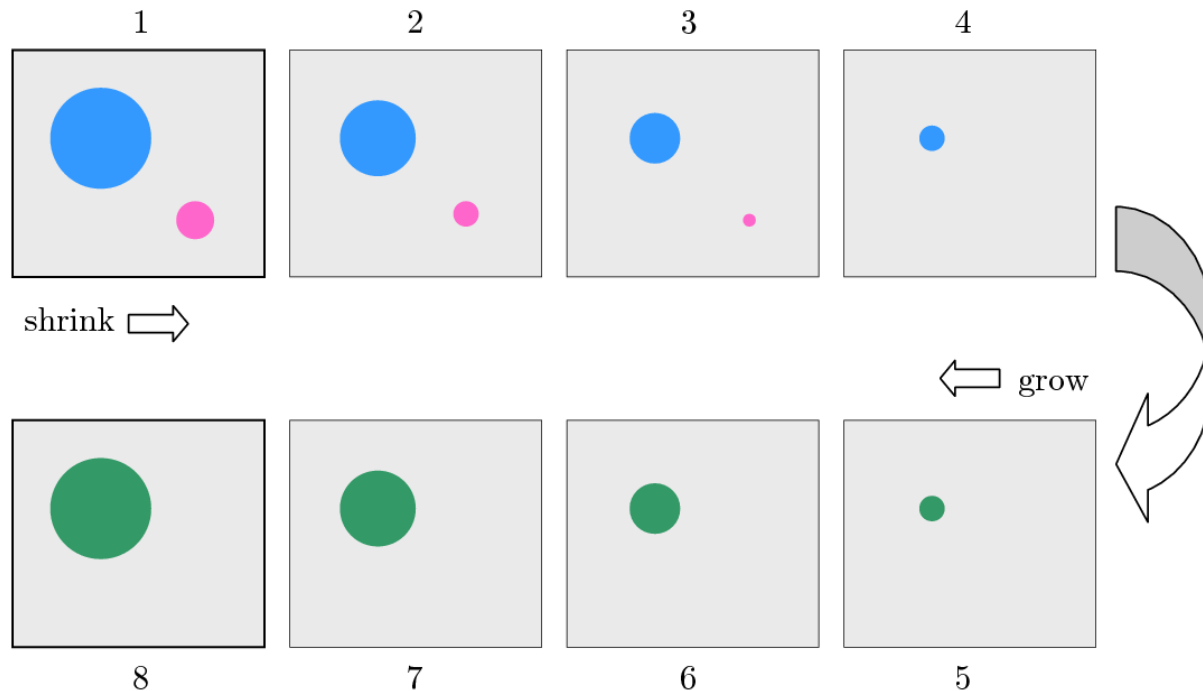
- Linearni filtri ne spreminjajo topologije slike
- Medianin filter deloma spremeni strukturo slike:



- Morfološki filtri so namenjeni ravno spreminjanju lokalne strukture slike
 - Odstranjevanje majhnih elementov slike
 - Polnjenje lukenj
 - Iskanje obrisov

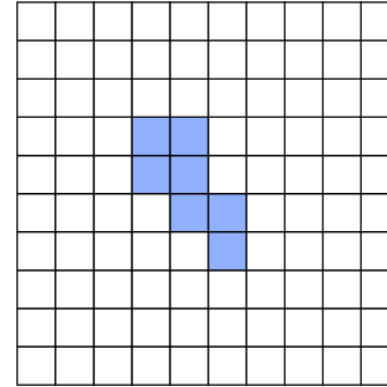
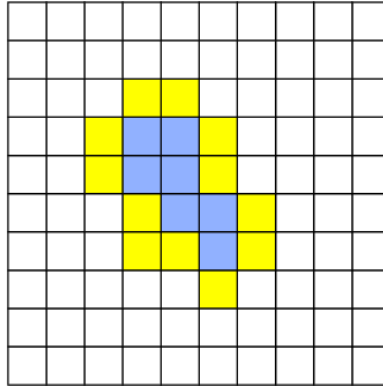
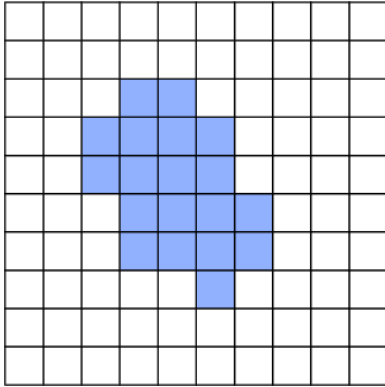
Krčenje in rast

- Odstranjevanje majhnih elementov na sliki
- Algoritem:
 1. Vse strukture skrči, tako da se odstranijo zunanji deli struktur
 - Na ta način se izgubijo majhne strukture
 2. Preostale strukture naj spet zrastejo – se dodajajo zunanje plasti
 - Dosežejo približno enako velikost in obliko kot na začetku

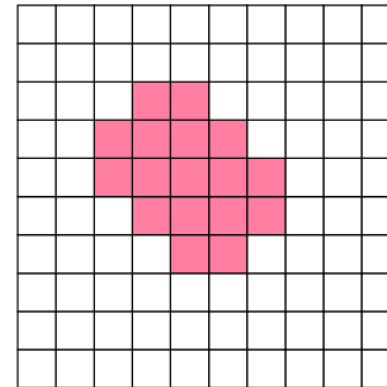
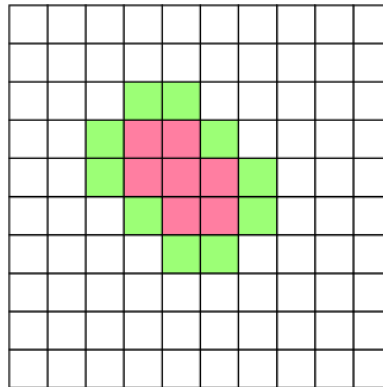
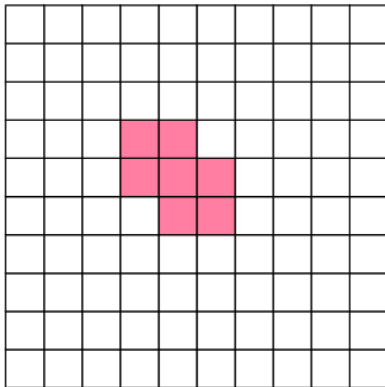


Krčenje in rast

- Krčenje
 - Odstrani se zunanja plast slikovnih elementov

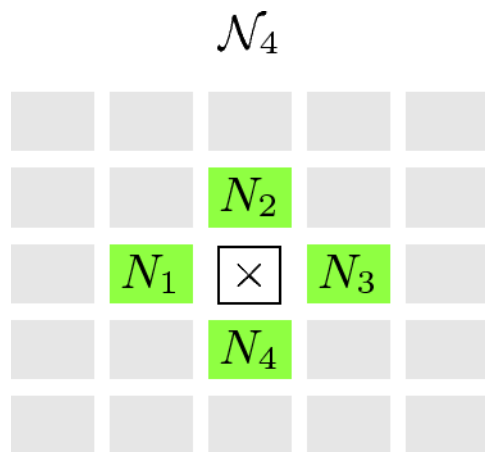


- Rast
 - doda se zunanja plast slikovnih elementov



Sosednost slikovnih elementov

- 4-sosednost



- 8-sosednost



Osnovne morfološke operacije

- Krčenje in Rast (Shrinking in Growing)
- Erozijska in Širitvena (Erosion, Dilation)
 - Bolj splošne
 - Definirane s strukturnim elementom
- Strukturni element
 - Definira lastnosti morfološkega filtra
 - Matrika binarnih vrednosti

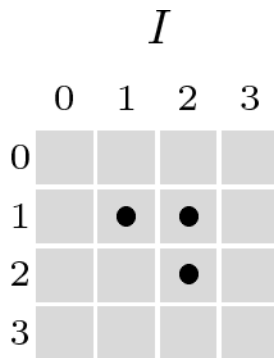
$$H(i, j) \in \{0, 1\}$$

$H =$   origin (hot spot)

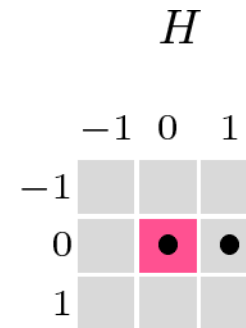
Množice točk

- Morfološke operacije ponavadi izvajamo na binarnih slikah
 $I(u, v) \in \{0, 1\}$
- Binarne slike in strukturni element lahko predstavimo z množico točk (parov koordinat $\mathbf{p} = (u, v)$):

$$\mathcal{Q}_I = \{\mathbf{p} \mid I(\mathbf{p}) = 1\}$$



$$I \equiv \mathcal{Q}_I = \{(1, 1), (2, 1), (2, 2)\}$$



$$H \equiv \mathcal{Q}_H = \{(0, 0), (1, 0)\}$$

Osnovne binarne operacije

- Invertiranje - komplementarna množica

$$\mathcal{Q}_{\bar{I}} = \bar{\mathcal{Q}}_I = \{\mathbf{p} \in \mathbb{Z}^2 \mid \mathbf{p} \notin \mathcal{Q}_I\}$$

- ALI - unija

$$\mathcal{Q}_{I_1 \vee I_2} = \mathcal{Q}_{I_1} \cup \mathcal{Q}_{I_2}$$

- Translacija - prištevanje

$$I_d \equiv \{(\mathbf{p} + \mathbf{d}) \mid \mathbf{p} \in I\}$$

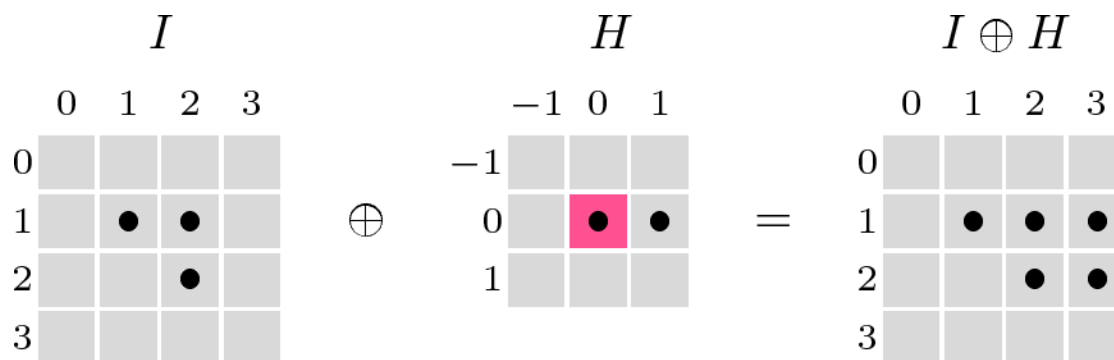
- Zrcaljenje - negacija

$$H^* \equiv \{-\mathbf{p} \mid \mathbf{p} \in H\}$$

- Iz Rasti - strukturni element se razmnoži na vsakem slikovnem elementu ospredja

$$I \oplus H \equiv \{(\mathbf{p} + \mathbf{q}) \mid \text{for some } \mathbf{p} \in I \text{ and } \mathbf{q} \in H\}$$

$$I \oplus H \equiv \bigcup_{\mathbf{p} \in I} H_{\mathbf{p}} = \bigcup_{\mathbf{q} \in H} I_{\mathbf{q}}$$



$$I \equiv \{(1, 1), (2, 1), (2, 2)\}, \quad H \equiv \{(\mathbf{0}, \mathbf{0}), (\mathbf{1}, \mathbf{0})\}$$

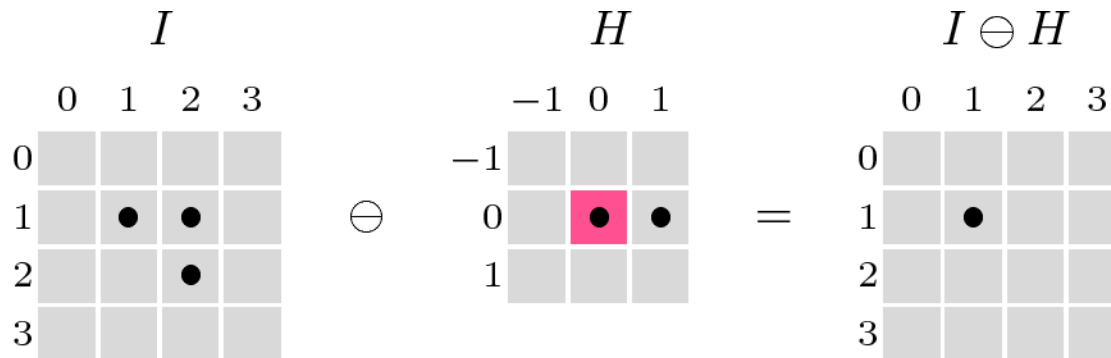
$$I \oplus H \equiv \{ (1, 1) + (\mathbf{0}, \mathbf{0}), (1, 1) + (\mathbf{1}, \mathbf{0}), \\ (2, 1) + (\mathbf{0}, \mathbf{0}), (2, 1) + (\mathbf{1}, \mathbf{0}), \\ (2, 2) + (\mathbf{0}, \mathbf{0}), (2, 2) + (\mathbf{1}, \mathbf{0}) \}$$

Erozija

- Iz Krčenja - kvazi-inverz Širitve

$$I \ominus H \equiv \{ \mathbf{p} \in \mathbb{Z}^2 \mid (\mathbf{p} + \mathbf{q}) \in I, \text{ for every } \mathbf{q} \in H \}$$

$$I \ominus H \equiv \{ \mathbf{p} \in \mathbb{Z}^2 \mid H_{\mathbf{p}} \subseteq I \}$$



$$I \equiv \{(1,1), (2,1), (2,2)\}, \quad H \equiv \{(\mathbf{0}, \mathbf{0}), (\mathbf{1}, \mathbf{0})\}$$

$$I \ominus H \equiv \{ (1,1) \} \text{ because}$$

$$(1,1) + (\mathbf{0}, \mathbf{0}) = (1,1) \in I \quad \textbf{and} \quad (1,1) + (\mathbf{1}, \mathbf{0}) = (2,1) \in I$$

Lastnosti Širitve in Eroziije

- Komutativnost

$$I \oplus H = H \oplus I$$

$$I \ominus H \neq H \ominus I$$

- Asociativnost

$$(I_1 \oplus I_2) \oplus I_3 = I_1 \oplus (I_2 \oplus I_3)$$

$$H_{\text{big}} = H_1 \oplus H_2 \oplus \dots \oplus H_K$$

$$I \oplus H_{\text{big}} = (\dots ((I \oplus H_1) \oplus H_2) \oplus \dots \oplus H_K)$$

$$(I_1 \ominus I_2) \ominus I_3 = I_1 \ominus (I_2 \oplus I_3)$$

- Nevtralni element

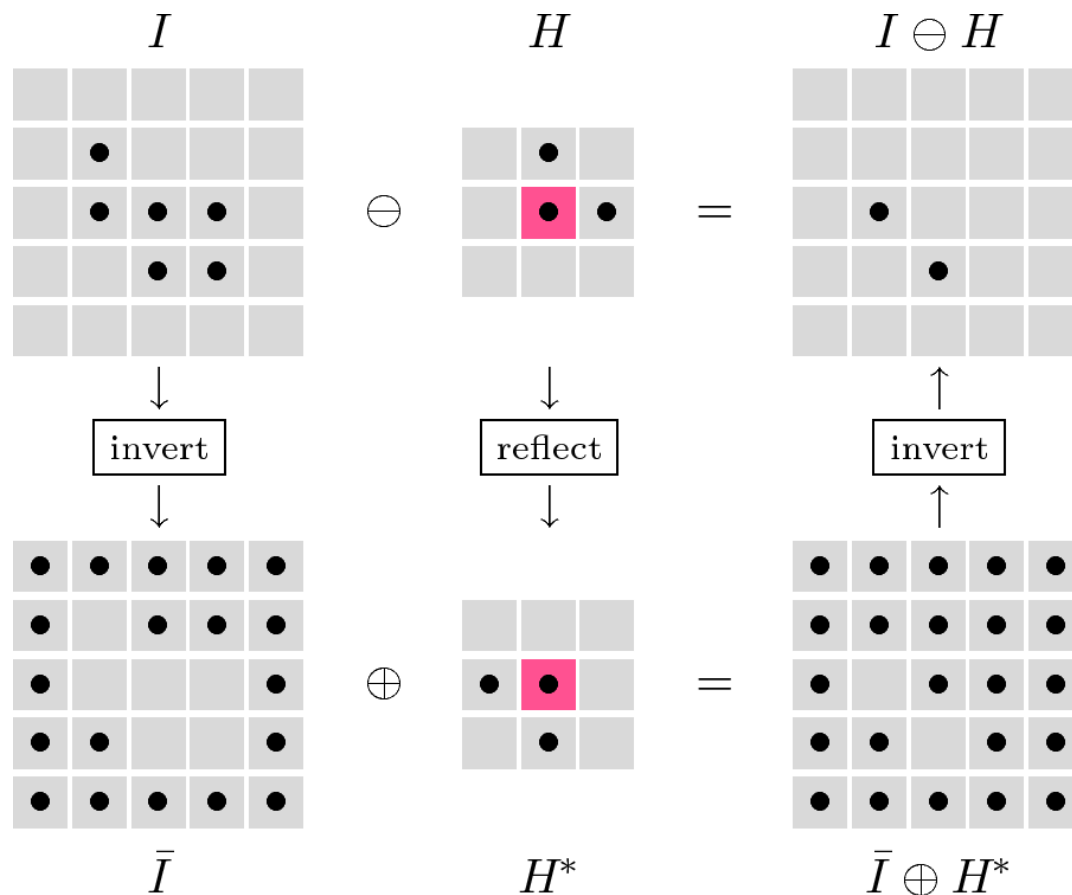
$$I \oplus \delta = \delta \oplus I = I, \quad \text{with } \delta \equiv \{(0, 0)\}$$

Dualnost Širitve in Eroziije

- Širitev ospredja je enaka Eroziiji ozadja in obratno

$$I \oplus H \equiv \overline{(\bar{I} \ominus H^*)}$$

$$I \ominus H \equiv \overline{(\bar{I} \oplus H^*)}$$



Algoritem

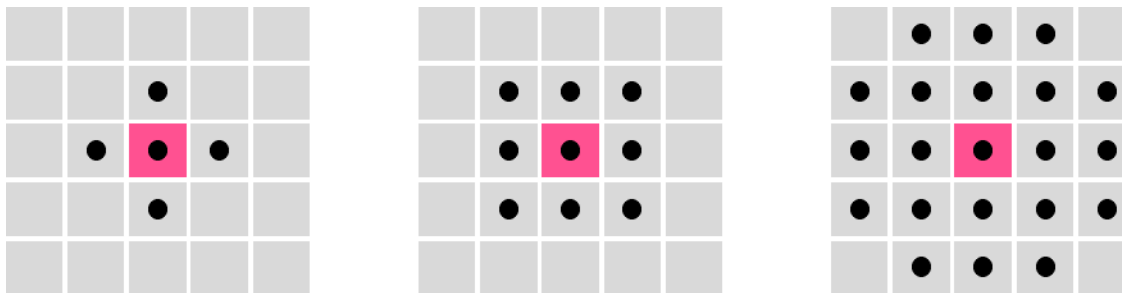
```
1: DILATE ( $I, H$ )
     $I$ : binary image of size  $w \times h$ 
     $H$ : binary structuring element defined over region  $\mathcal{R}_H$ 
    Returns the dilated image  $I' = I \oplus H$ 

2:    $I' \leftarrow$  new binary image of size  $w \times h$ 
3:    $I'(u, v) \leftarrow 0$ , for all  $(u, v)$   $\triangleright I' \leftarrow \emptyset$ 
4:   for all  $(i, j) \in \mathcal{R}_H$  do  $\triangleright (i, j) = \mathbf{q}$ 
5:       if  $H(i, j) = 1$  then  $\triangleright \mathbf{q} \in H$ 
6:           MERGE THE SHIFTED  $I_{\mathbf{q}}$  WITH  $I'$ :  $\triangleright I' \leftarrow I' \cup I_{\mathbf{q}}$ 
7:           for  $u \leftarrow 0 \dots (w-1)$  do
8:               for  $v \leftarrow 0 \dots (h-1)$  do  $\triangleright (u, v) = \mathbf{p}$ 
9:                   if  $I(u, v) = 1$  then  $\triangleright \mathbf{p} \in I$ 
10:                       $I'(u+i, v+j) \leftarrow 1$   $\triangleright I' \leftarrow I' \cup (\mathbf{p} + \mathbf{q})$ 
11:   return  $I'$ .

12: ERODE ( $I, H$ )
13:    $\bar{I} \leftarrow$  INVERT( $I$ )  $\triangleright \bar{I} \leftarrow \neg I$ 
14:    $H^* \leftarrow$  REFLECT( $H$ )
15:   return INVERT(DILATE( $\bar{I}, H^*$ )).  $\triangleright I \oplus H = \overline{(\bar{I} \oplus H^*)}$ 
```

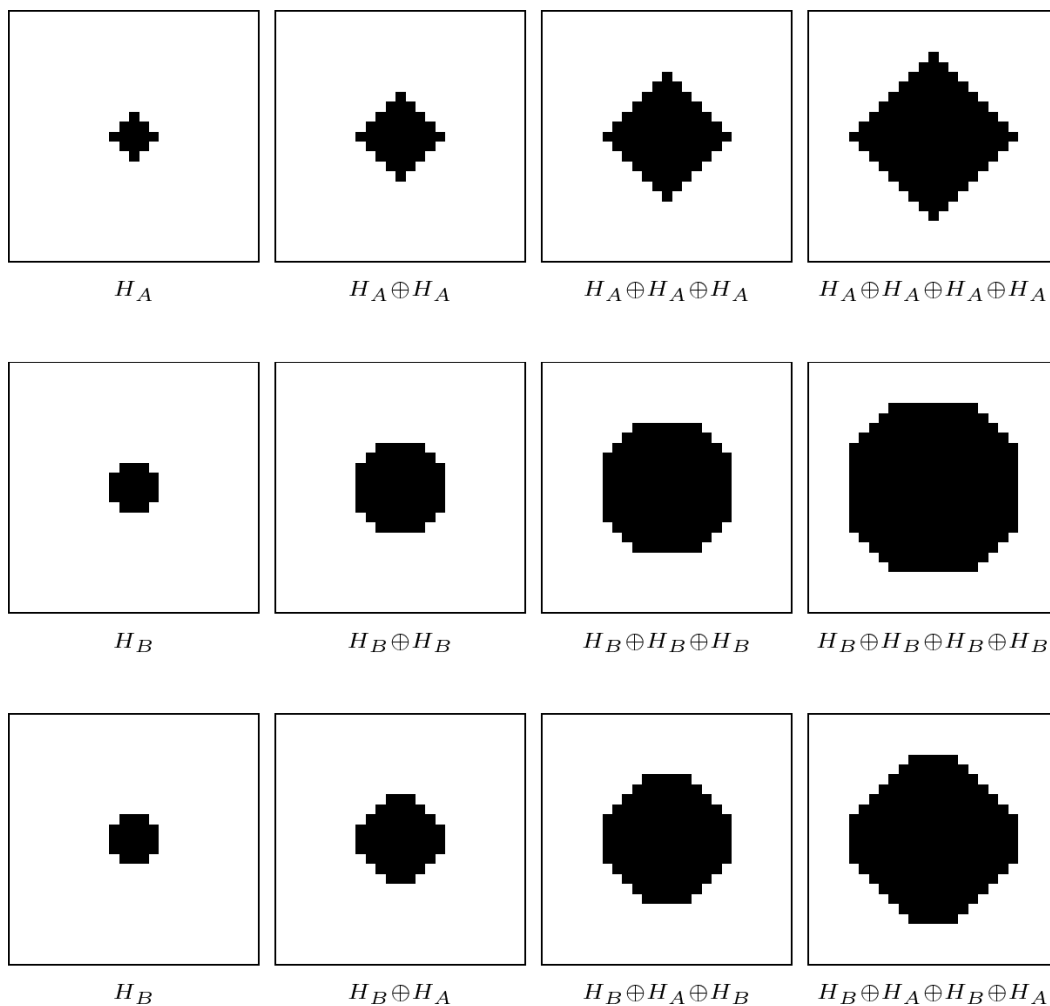
Morfološki filtri

- Morfološki filter je točno definiran s
 - Tipom operacije
 - Strukturnim elementom
- Ponavadi se uporabljajo okrogli strukturni elementi (izotropičen filter)
 - Pri Širitvi strukturni element z radijem r doda r slikovnih elementov plasti okrog osredja
 - Pri Erozi strukturni element z radijem r zbriše r plasti slikovnih elementov z osredja

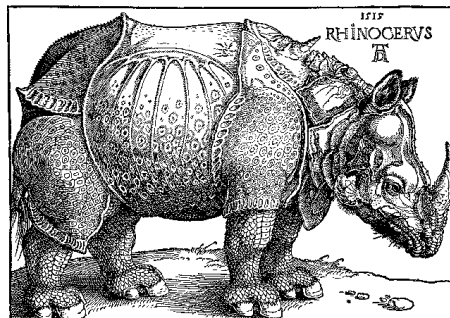


Iterativnost filtrov

- Aproksimacija izotropičnih filtrov z ustreznim vrstnim redom manjših filtrov



Primer



Dilation

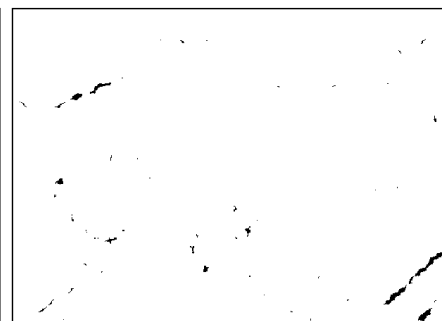
Erosion



$r = 1.0$



$r = 2.5$



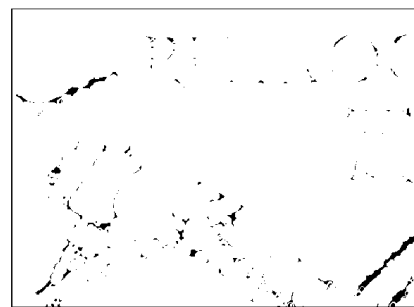
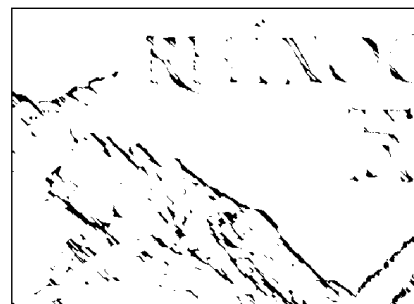
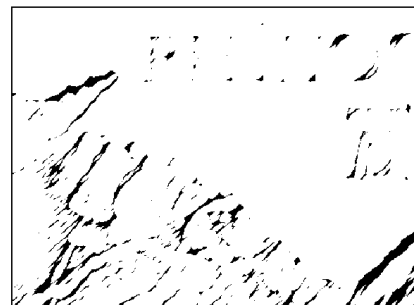
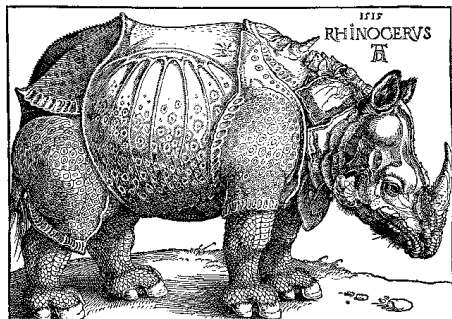
$r = 5.0$

Primer

H

Dilation

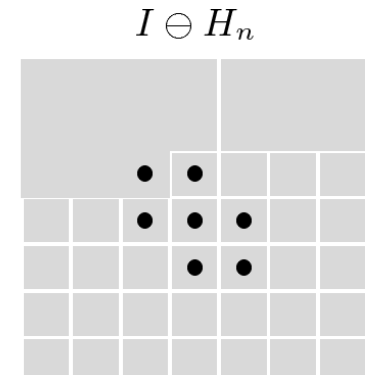
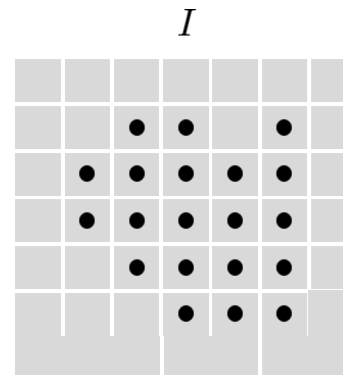
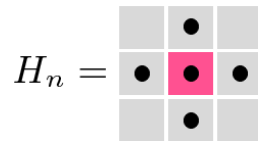
Erosion



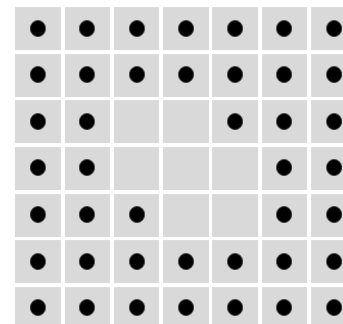
- Določanje mejnih slikovnih elementov
 - Presek med originalno in invertirano „erodirano“ sliko

$$I' = I \ominus H_n$$

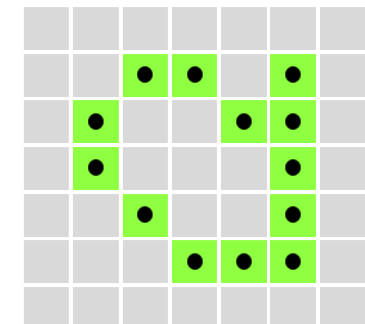
$$B = I \cap \overline{I'} = I \cap \overline{(I \ominus H_n)}$$



$$\overline{I \ominus H_n}$$



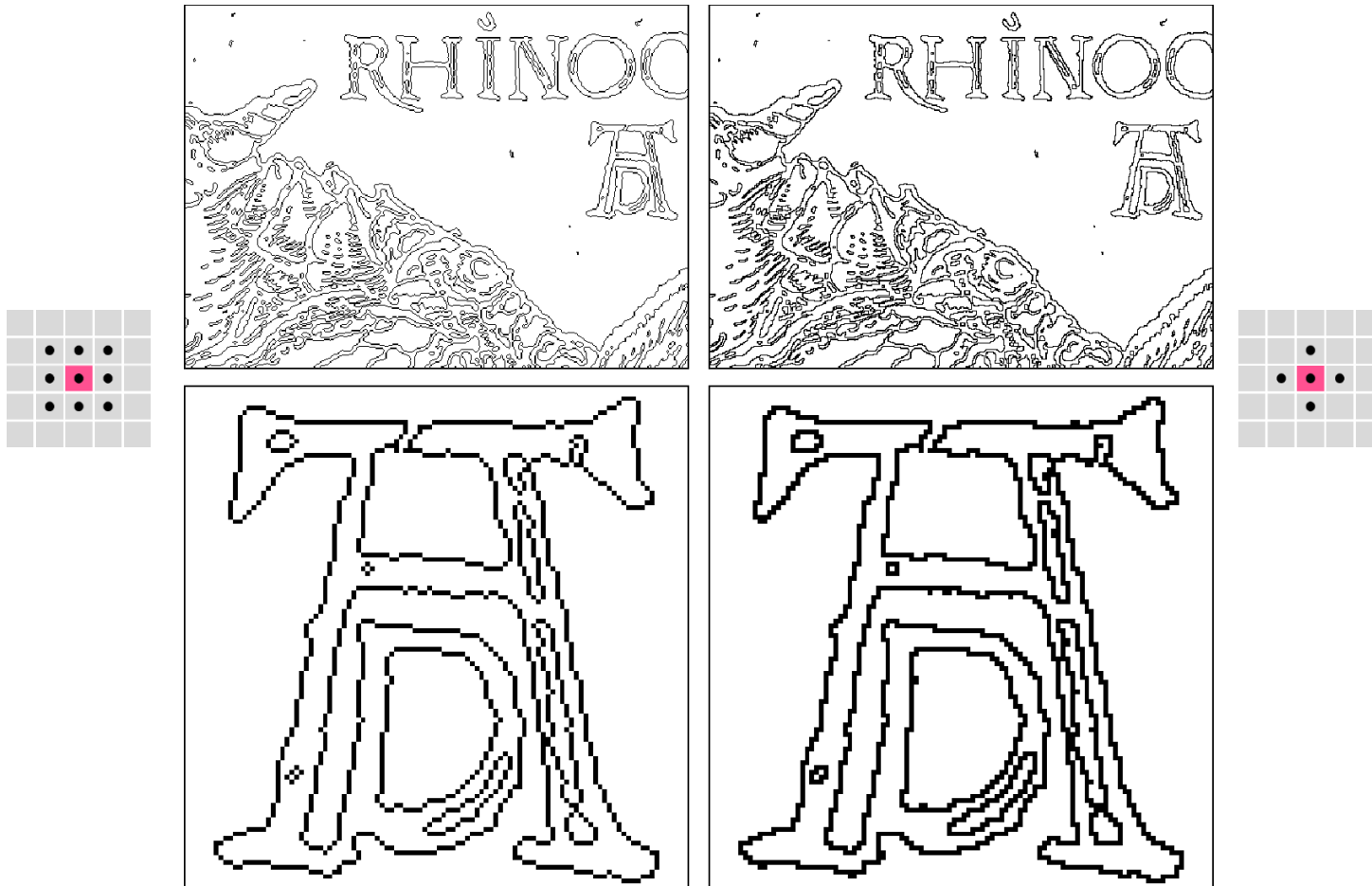
$$B = I \cap \overline{I \ominus H_n}$$



- oz XOR med originalno in „erodirano“ sliko

Primer

- 8-sosedni strukturni element -> 4-sosedni obris
- 4-sosedni strukturni element -> 8-sosedni obris



Kompozitni operatorji

- Odprtje (opening):
 - Erozijska, nato širitev z istim strukturnim elementom
 - Za odstranjevanje majhnih elementov

$$I \circ H = (I \ominus H) \oplus H$$

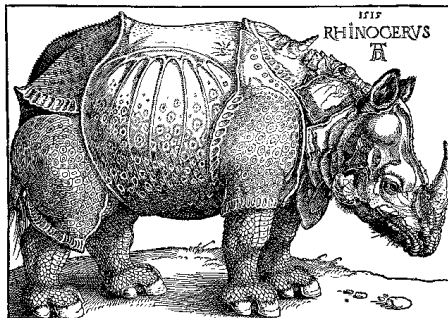
- Zaprtje (closing)
 - Širitev, nato erozija
 - Za polnjenje lukenj

$$I \bullet H = (I \oplus H) \ominus H$$

- Operaciji Odprtje in Zaprtje sta

- Idempotentni:
$$I \circ H = (I \circ H) \circ H = ((I \circ H) \circ H) \circ H = \dots$$
$$I \bullet H = (I \bullet H) \bullet H = ((I \bullet H) \bullet H) \bullet H = \dots$$
- Dualni:
$$I \circ H = \overline{(\bar{I} \bullet H)} \quad \text{and} \quad I \bullet H = \overline{(\bar{I} \circ H)}$$

Primer Odprtja in Zaprtja



Opening



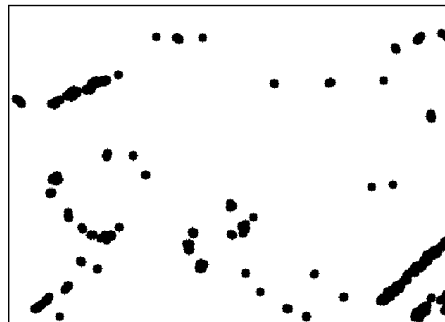
Closing



$r = 1.0$



$r = 2.5$



$r = 5.0$

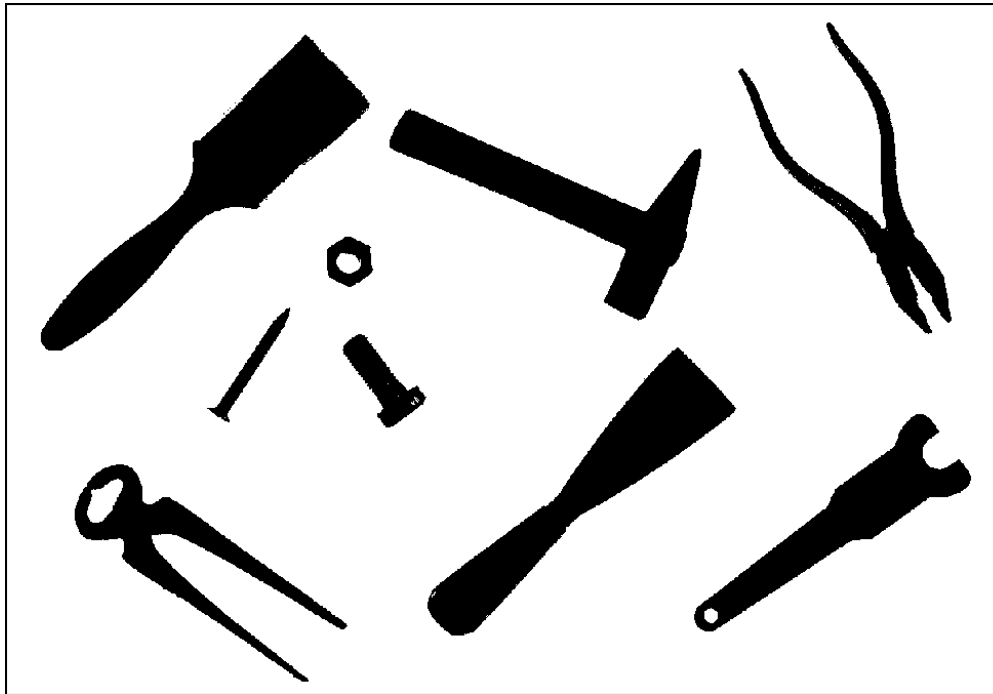
Morfološki operatorji na sivinskih slikah

- Širitev in Erozijska sta tudi posplošeni za uporabo na sivinskih slikah
- Primer:



Regije v binarnih slikah

- Ospredje (foreground)
- Ozadje (background)

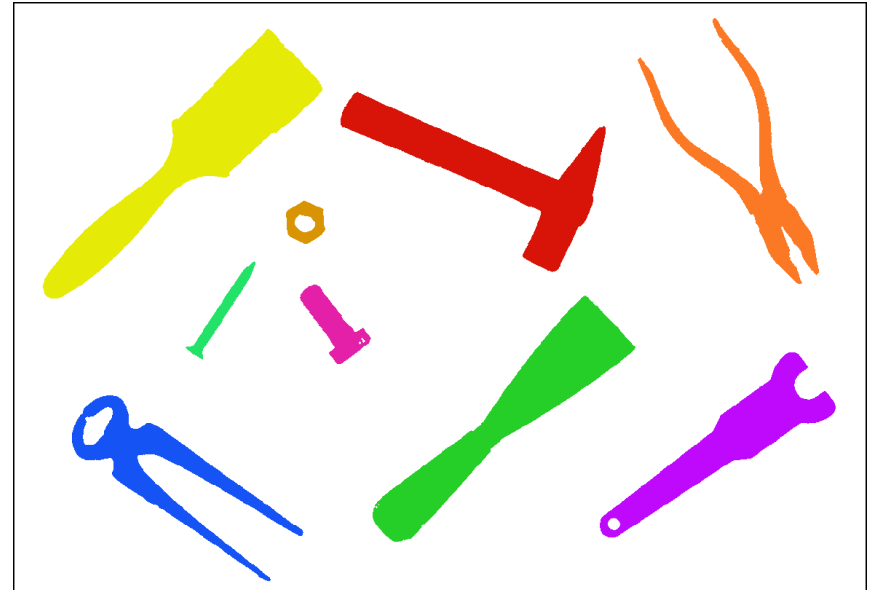


- Število in vrsta predmetov na binarnih slikah

Iskanje regij na sliki

- Labeliranje (barvanje) regij
 - Kateri slikovni elementi pripadajo kateri regiji?
 - Koliko regij je na sliki?
 - Kje so regije locirane?

$$I(u, v) = \begin{cases} 0 & \text{background pixel} \\ 1 & \text{foreground pixel} \\ 2, 3, \dots & \text{region label.} \end{cases}$$



- Iskanje povezanih slikovnih elementov
 - 4-sosednost
 - 8-sosednost
- Več algoritmov:
 - Poplavljanje (flood filling)
 - Zaporedno označevanje regij (Sequential region marking)
 - Kombinacija obeh

Barvanje regij s poplavljanjem

- Enostaven algoritem:
 1. Poišči en neoznačen slikovni element ospredja
 2. Označi vse sosednje slikovne elemente ospredja in tako naprej
- Kot poplavljanje pokrajine

- Različni načini poplavljanja:
 1. Rekurzivno
 - zelo prostorsko zahtevno
 2. Iterativno z uporabo sklada (najprej v globino)
 3. Iterativno z uporabo vrste (najprej v širino)
 - najbolj priporočljivo

Rekurzivni algoritem

```
1: REGIONLABELING(I)
   I: binary image (0 = background, 1 = foreground)
   The image I is labeled (destructively modified) and returned.

2:   Initialize  $m \leftarrow 2$  (the value of the next label to be assigned).
3:   Iterate over all image coordinates  $(u, v)$ .
4:     if  $I(u, v) = 1$  then
5:       FLOODFILL(I, u, v, m)    ▷ use any of the 3 versions below
6:        $m \leftarrow m + 1$ .
7:   return the labeled image I.
```

```
8: FLOODFILL(I, u, v, label)                                ▷ Recursive Version
9:   if coordinate  $(u, v)$  is within image boundaries and  $I(u, v) = 1$  then
10:    Set  $I(u, v) \leftarrow label$ 
11:    FLOODFILL(I,  $u+1, v, label$ )
12:    FLOODFILL(I,  $u, v+1, label$ )
13:    FLOODFILL(I,  $u, v-1, label$ )
14:    FLOODFILL(I,  $u-1, v, label$ )
15:   return.
```

Iterativna algoritma

16: FLOODFILL($I, u, v, label$) ▷ Depth-First Version

```
17:   Create an empty stack  $S$ 
18:   Put the seed coordinate  $\langle u, v \rangle$  onto the stack:  $PUSH(S, \langle u, v \rangle)$ 
19:   while  $S$  is not empty do
20:     Get the next coordinate from the top of the stack:
        $\langle x, y \rangle \leftarrow POP(S)$ 
21:     if coordinate  $(x, y)$  is within image boundaries and  $I(x, y) = 1$ 
       then
22:       Set  $I(x, y) \leftarrow label$ 
23:        $PUSH(S, \langle x+1, y \rangle)$ 
24:        $PUSH(S, \langle x, y+1 \rangle)$ 
25:        $PUSH(S, \langle x, y-1 \rangle)$ 
26:        $PUSH(S, \langle x-1, y \rangle)$ 
27:   return.
```

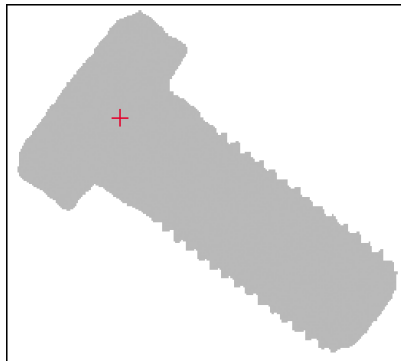
28: FLOODFILL($I, u, v, label$) ▷ Breadth-First Version

```
29:   Create an empty queue  $Q$ 
30:   Insert the seed coordinate  $\langle u, v \rangle$  into the queue:  $ENQUEUE(Q, \langle u, v \rangle)$ 
31:   while  $Q$  is not empty do
32:     Get the next coordinate from the front of the queue:
        $\langle x, y \rangle \leftarrow DEQUEUE(Q)$ 
33:     if coordinate  $\langle x, y \rangle$  is within image boundaries and  $I(x, y) = 1$ 
       then
34:       Set  $I(x, y) \leftarrow label$ 
35:        $ENQUEUE(Q, \langle x+1, y \rangle)$ 
36:        $ENQUEUE(Q, \langle x, y+1 \rangle)$ 
37:        $ENQUEUE(Q, \langle x, y-1 \rangle)$ 
38:        $ENQUEUE(Q, \langle x-1, y \rangle)$ 
39:   return.
```

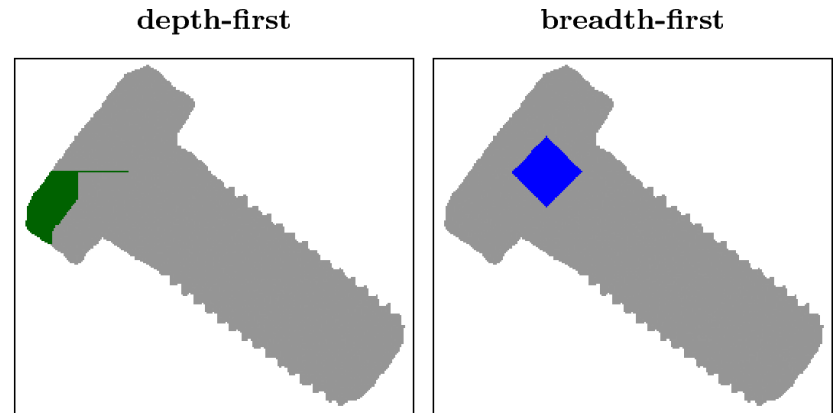
Primer

- Iterativna algoritma
 - S skladom
 - Z vrsto

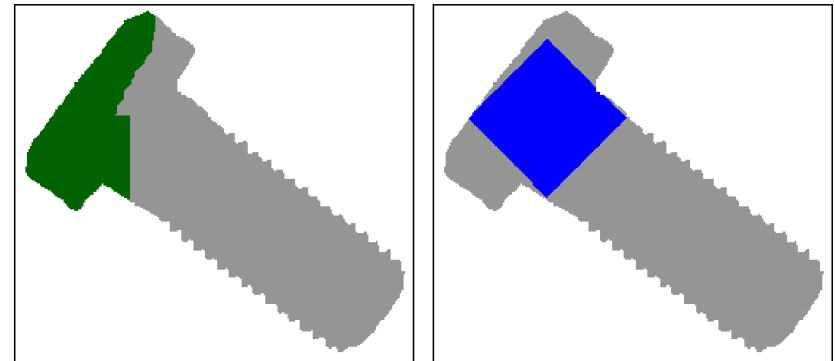
(a)
Original



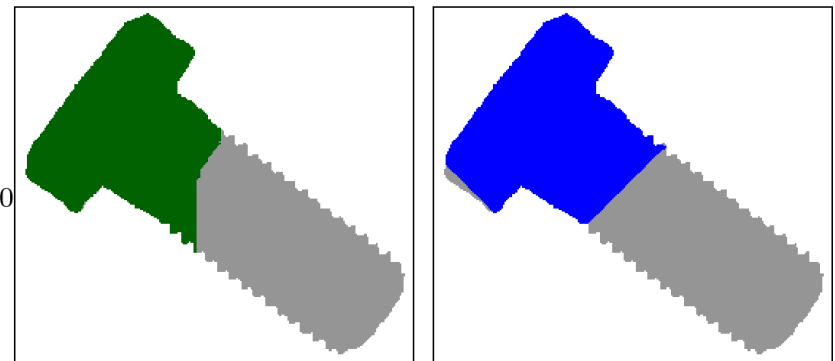
(b)
 $K = 1.000$



(c)
 $K = 5.000$



(d)
 $K = 10.000$



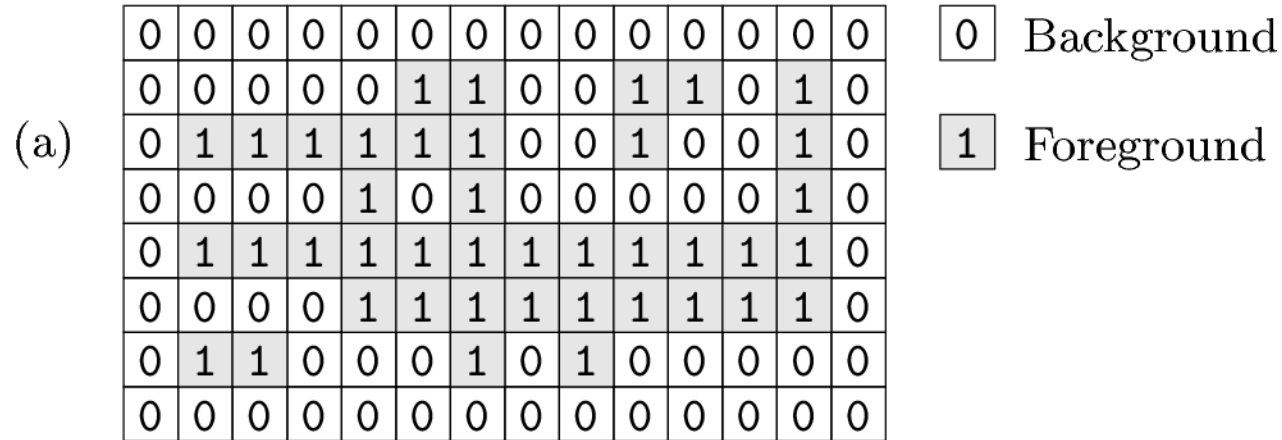
Zaporedno označevanje regij

- Sliko sprocesiramo zaporedno od zgornjega levega do spodnjega desnega vogala v dveh korakih
- Korak 1:
 - Če je trenutni slikovni element del ospredja preverimo del njegovih sosedov

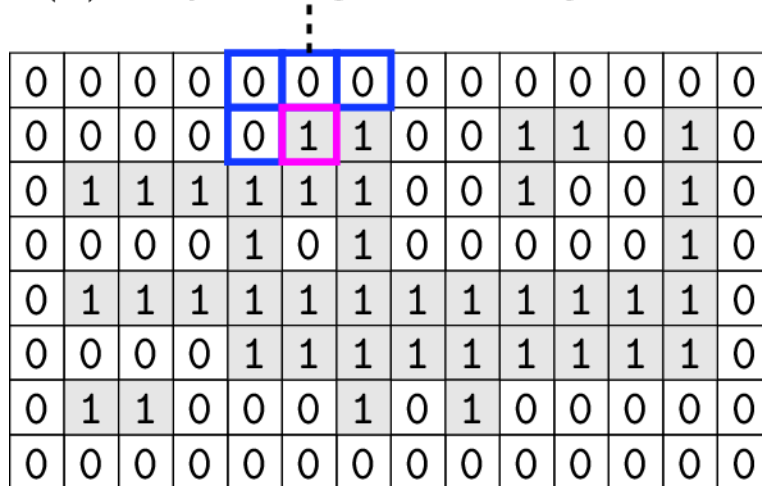
$$\mathcal{N}_4(u, v) = \begin{array}{|c|c|c|} \hline \square & N_2 & \square \\ \hline N_1 & \times & \square \\ \hline \square & \square & \square \\ \hline \end{array} \quad \text{or} \quad \mathcal{N}_8(u, v) = \begin{array}{|c|c|c|} \hline N_2 & N_3 & N_4 \\ \hline N_1 & \times & \square \\ \hline \square & \square & \square \\ \hline \end{array}$$

- Če so vsi sosedi del ozadja, inicializiramo novo labelo
 - Če imajo vsi ospredni sosedi enako labelo jo priredimo tudi trenutnemu slikovnemu elementu
 - Če imajo različne labele, si zapomnimo to kot konflikt
 - Gradimo grafe med seboj povezanih label
- Korak 2:
 - Razrešimo konflikte: poiščemo povezane komponente v grafih konfliktov in popravimo labelo ustreznih slikovnih elementov

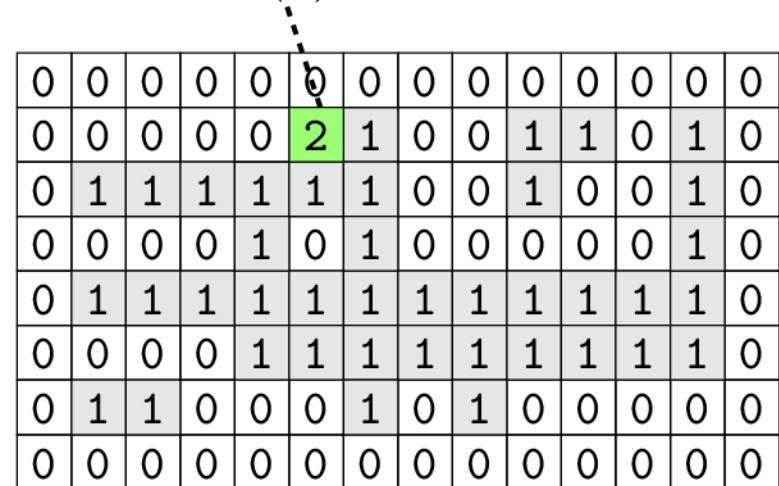
Primer



(b) only background neighbors



new label (2)



Primer

(c) exactly one neighbor label

0	0	0	0	0	0	0	0	0	0	0	0	0	0
0	0	0	0	0	0	2	1	0	0	1	1	0	1
0	1	1	1	1	1	1	1	0	0	1	0	0	1
0	0	0	0	1	0	1	0	0	0	0	0	1	0
0	1	1	1	1	1	1	1	1	1	1	1	1	0
0	0	0	0	1	1	1	1	1	1	1	1	1	0
0	1	1	0	0	0	1	0	1	0	0	0	0	0
0	0	0	0	0	0	0	0	0	0	0	0	0	0

neighbor label is propagated

0	0	0	0	0	0	0	0	0	0	0	0	0	0
0	0	0	0	0	0	2	2	0	0	1	1	0	1
0	1	1	1	1	1	1	1	0	0	1	0	0	1
0	0	0	0	1	0	1	0	0	0	0	0	1	0
0	1	1	1	1	1	1	1	1	1	1	1	1	0
0	0	0	0	1	1	1	1	1	1	1	1	1	0
0	1	1	0	0	0	1	0	1	0	0	0	0	0
0	0	0	0	0	0	0	0	0	0	0	0	0	0

(d) two different neighbor labels

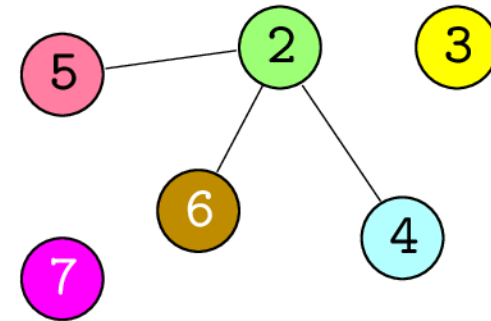
0	0	0	0	0	0	0	0	0	0	0	0	0	0
0	0	0	0	0	0	2	2	0	0	3	3	0	4
0	5	5	5	1	1	1	1	0	0	1	0	0	1
0	0	0	0	1	0	1	0	0	0	0	0	1	0
0	1	1	1	1	1	1	1	1	1	1	1	1	0
0	0	0	0	1	1	1	1	1	1	1	1	1	0
0	1	1	0	0	0	1	0	1	0	0	0	0	0
0	0	0	0	0	0	0	0	0	0	0	0	0	0

one of the labels (2) is propagated

0	0	0	0	0	0	0	0	0	0	0	0	0	0
0	0	0	0	0	0	2	2	0	0	3	3	0	4
0	5	5	5	2	1	1	1	0	0	1	0	0	1
0	0	0	0	1	0	1	0	0	0	0	0	1	0
0	1	1	1	1	1	1	1	1	1	1	1	1	0
0	0	0	0	1	1	1	1	1	1	1	1	1	0
0	1	1	0	0	0	1	0	1	0	0	0	0	0
0	0	0	0	0	0	0	0	0	0	0	0	0	0

Primer

0	0	0	0	0	0	0	0	0	0	0	0	0	0
0	0	0	0	0	2	2	0	0	3	3	0	4	0
0	5	5	5	2	2	2	0	0	3	0	0	4	0
0	0	0	0	2	0	2	0	0	0	0	0	4	0
0	6	6	2	2	2	2	2	2	2	2	2	2	0
0	0	0	0	2	2	2	2	2	2	2	2	2	0
0	7	7	0	0	0	2	0	2	0	0	0	0	0
0	0	0	0	0	0	0	0	0	0	0	0	0	0



0	0	0	0	0	0	0	0	0	0	0	0	0	0
0	0	0	0	0	2	2	0	0	3	3	0	2	0
0	2	2	2	2	2	2	0	0	3	0	0	2	0
0	0	0	0	2	0	2	0	0	0	0	0	2	0
0	2	2	2	2	2	2	2	2	2	2	2	2	0
0	0	0	0	2	2	2	2	2	2	2	2	2	0
0	7	7	0	0	0	2	0	2	0	0	0	0	0
0	0	0	0	0	0	0	0	0	0	0	0	0	0

Algoritem – korak 1

```
1: SEQUENTIALLABELING( $I$ )
    $I$ : binary image ( $0 = \text{background}$ ,  $1 = \text{foreground}$ )
   The image  $I$  is labeled (destructively modified) and returned.

   PASS 1—ASSIGN INITIAL LABELS:
2: Initialize  $m \leftarrow 2$  (the value of the next label to be assigned).
3: Create an empty set  $\mathcal{C}$  to hold the collisions:  $\mathcal{C} \leftarrow \{\}$ .
4: for  $v \leftarrow 0 \dots H - 1$  do                                 $\triangleright H = \text{height of image } I$ 
5:     for  $u \leftarrow 0 \dots W - 1$  do                             $\triangleright W = \text{width of image } I$ 
6:         if  $I(u, v) = 1$  then do one of:
7:             if all neighbors of  $(u, v)$  are background pixels (all  $n_i = 0$ )
               then
8:                  $I(u, v) \leftarrow m$ .
9:                  $m \leftarrow m + 1$ .
10:            else if exactly one of the neighbors has a label value
                 $n_k > 1$  then
11:                set  $I(u, v) \leftarrow n_k$ 
12:            else if several neighbors of  $(u, v)$  have label values  $n_j > 1$ 
               then
13:                Select one of them as the new label:
                    $I(u, v) \leftarrow k \in \{n_j\}$ .
14:                for all other neighbors of  $u, v$  with label values  $n_i > 1$ 
                   and  $n_i \neq k$  do
15:                    Create a new label collision  $\mathbf{c}_i = \langle n_i, k \rangle$ .
16:                    Record the collision:  $\mathcal{C} \leftarrow \mathcal{C} \cup \{\mathbf{c}_i\}$ .
```

Remark: The image I now contains label values $0, 2, \dots, m - 1$.

Algoritem – korak 2

PASS 2—RESOLVE LABEL COLLISIONS:

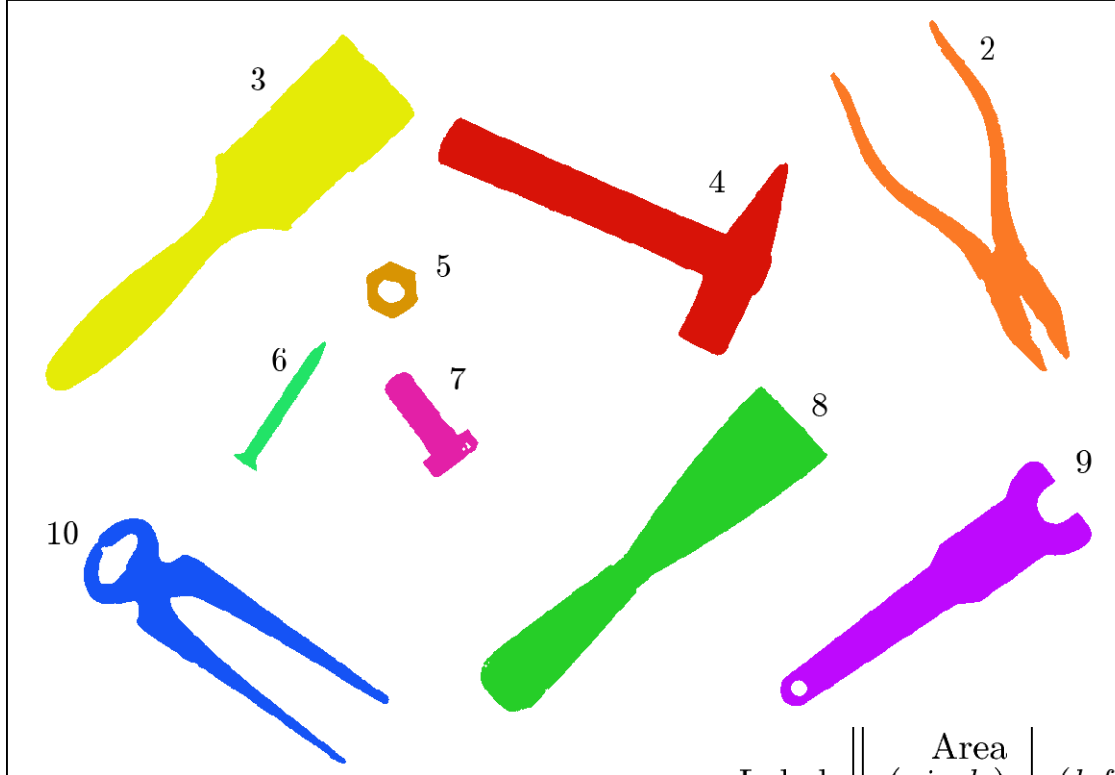
- 17: Let $\mathcal{L} = \{2, 3, \dots, m-1\}$ be the set of preliminary region labels.
- 18: Create a partitioning of \mathcal{L} as a *vector of sets*, one set for each label value: $\mathcal{R} \leftarrow [\mathcal{R}_2, \mathcal{R}_3, \dots, \mathcal{R}_{m-1}] = [\{2\}, \{3\}, \{4\}, \dots, \{m-1\}]$, so $\mathcal{R}_i = \{i\}$ for all $i \in \mathcal{L}$.
- 19: **for all** collisions $\langle a, b \rangle \in \mathcal{C}$ **do**
- 20: Find in \mathcal{R} the sets $\mathcal{R}_a, \mathcal{R}_b$ containing the labels a, b , resp.:
 - $\mathcal{R}_a \leftarrow$ the set that currently contains label a
 - $\mathcal{R}_b \leftarrow$ the set that currently contains label b
- 21: **if** $\mathcal{R}_a \neq \mathcal{R}_b$ (a and b are contained in different sets) **then**
- 22: Merge sets \mathcal{R}_a and \mathcal{R}_b by moving all elements of \mathcal{R}_b to \mathcal{R}_a :
 - $\mathcal{R}_a \leftarrow \mathcal{R}_a \cup \mathcal{R}_b$
 - $\mathcal{R}_b \leftarrow \{\}$

Remark: All *equivalent* label values (i.e., all labels of pixels in the same region) are now contained in the same set \mathcal{R}_i within \mathcal{R} .

PASS 3—RELABEL THE IMAGE:

- 23: Iterate through all image pixels (u, v) :
- 24: **if** $I(u, v) > 1$ **then**
- 25: Find the set \mathcal{R}_i in \mathcal{R} that contains label $I(u, v)$.
- 26: Choose one unique representative element k from the set \mathcal{R}_i (e.g., the minimum value, $k = \min(\mathcal{R}_i)$).
- 27: Replace the image label: $I(u, v) \leftarrow k$.
- 28: **return** the labeled image I .

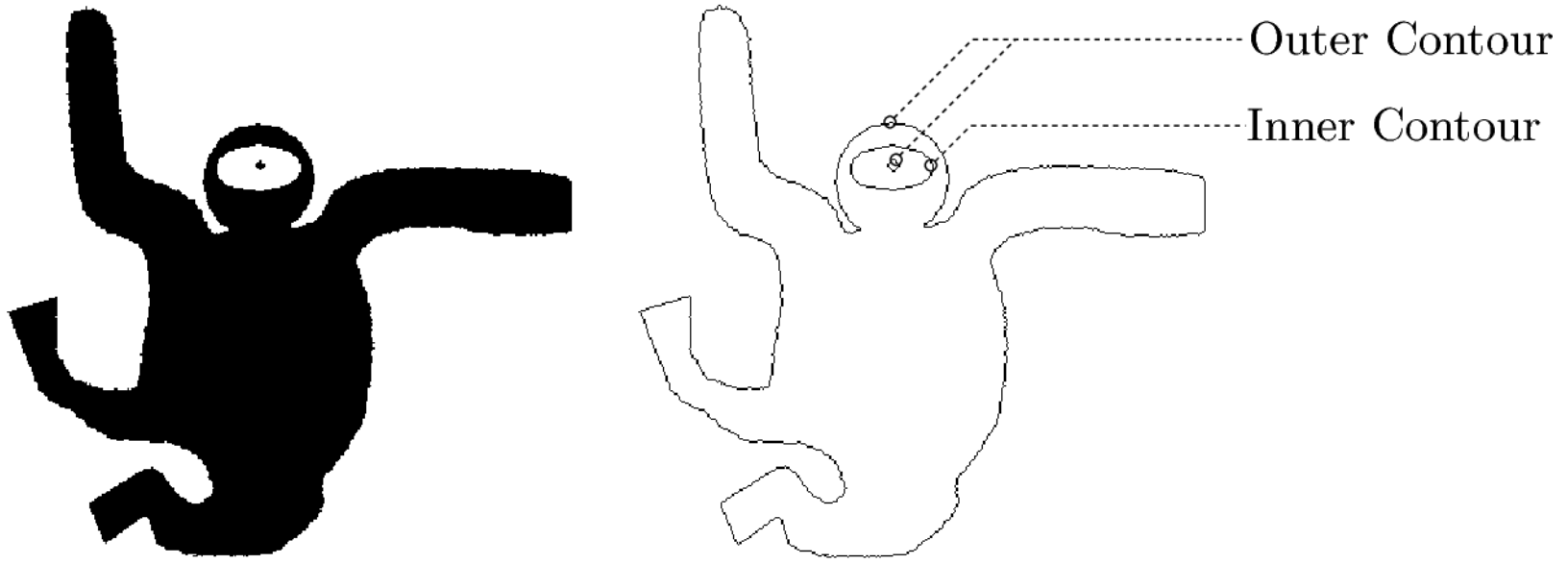
Primer



Label	Area (<i>pixels</i>)	Bounding Box (<i>left, top, right, bottom</i>)	Center (x_c, y_c)
2	14978	(887, 21, 1144, 399)	(1049.7, 242.8)
3	36156	(40, 37, 438, 419)	(261.9, 209.5)
4	25904	(464, 126, 841, 382)	(680.6, 240.6)
5	2024	(387, 281, 442, 341)	(414.2, 310.6)
6	2293	(244, 367, 342, 506)	(294.4, 439.0)
7	4394	(406, 400, 507, 512)	(454.1, 457.3)
8	29777	(510, 416, 883, 765)	(704.9, 583.9)
9	20724	(833, 497, 1168, 759)	(1016.0, 624.1)
10	16566	(82, 558, 411, 821)	(208.7, 661.6)

Obrisi regij

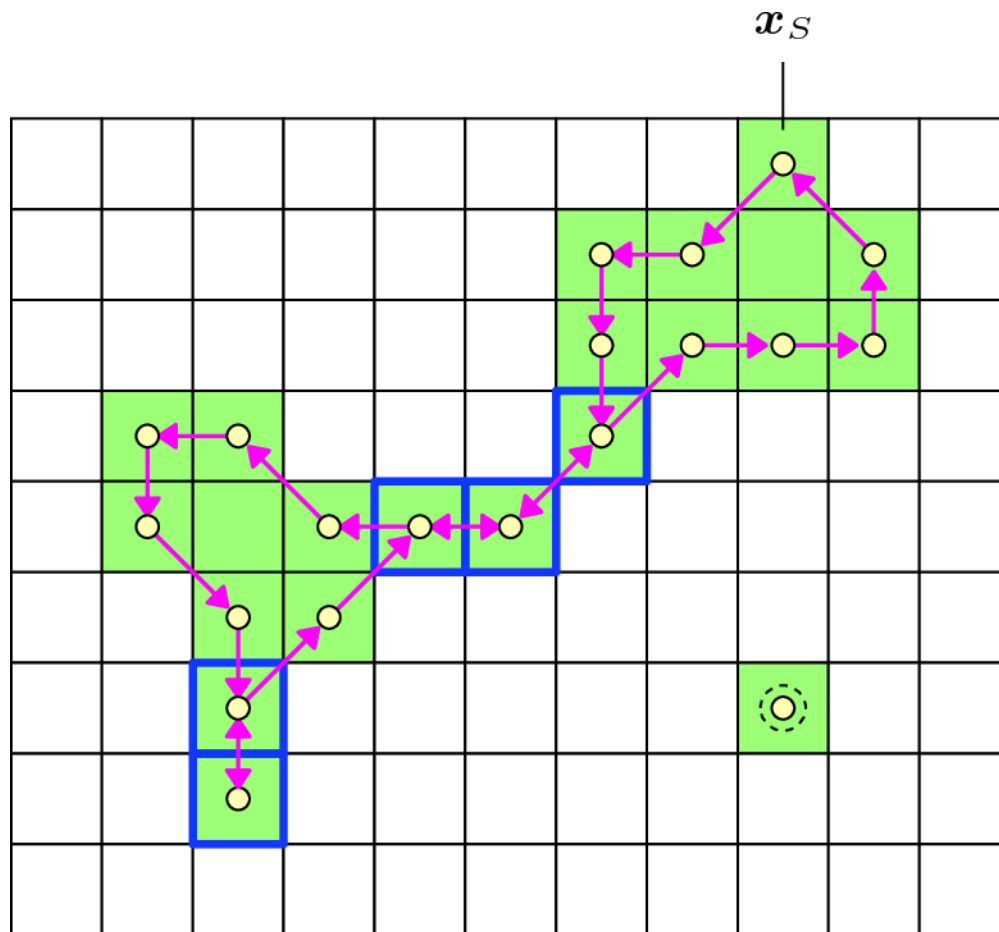
- Morfološki operatorji označijo slikovne elemente na obrisu
- Potrebujemo tudi urejeno zaporedje robnih slikovnih elementov
- Zunanji obris in notranji obris



Iskanje obrisa

1. Poišči povezano regijo
2. Poišči rob regije in mu sledi naokrog

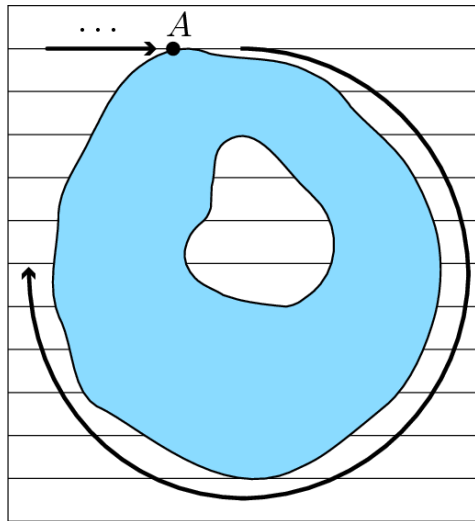
- Težave:
 - Notranji obrisi
 - Deli regij debeline en sl. element
 - Izolirani s- elementi



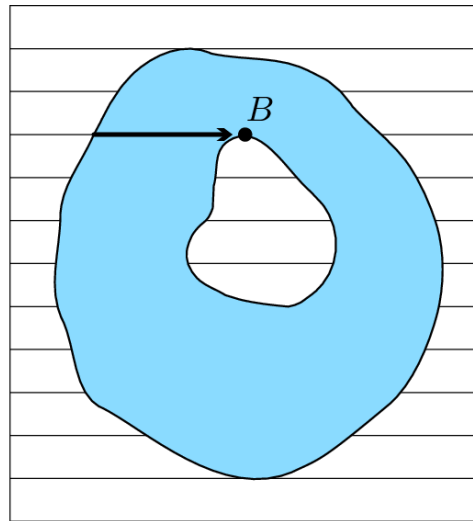
Kombinirano iskanje regij in obrisov

- Hkrati označi regije in poišče obris
- Algoritem preišče celotno sliko od zgornjega levega do spodnjega desnega slikovnega elementa
- V nekem slikovnem elementu so možni tri primeri:
 - Primer A: BG->neoznačen FG => zunanji obris
 - Dodeli novo oznako regiji
 - Prepotuj celoten zunanji obris in ustrezno označi sl. elemente
 - Sosednje BG sl. Elemente označi z -1
 - Primer B: FG->neoznačen BG => notranji obris
 - Prepotuj celoten notranji obris in ustrezno označi sl. elemente
 - Mejne BG sl. Elemente označi z -1
 - Primer C: označen FG
 - Prenesi oznako na sl. elemente na desni

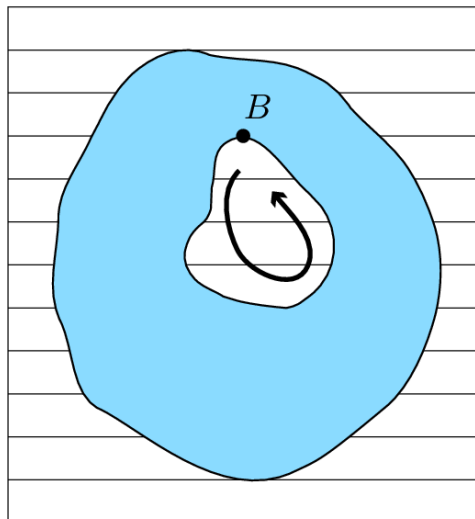
Kombinirano iskanje regij in obrisov



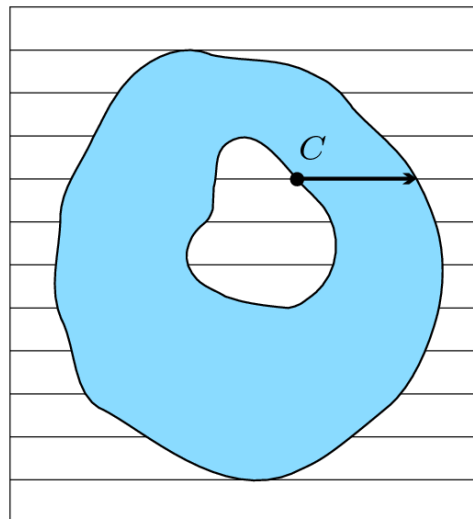
(a)



(b)



(c)



(d)

Algoritem

```

1: COMBINEDCONTOURLABELING ( $I$ )
    $I$ : binary image
   Returns a set of contours and a label map (labeled image).

2: Create an empty set of contours:  $\mathcal{C} \leftarrow \{\}$ 
3: Create a label map  $LM$  of the same size as  $I$  and initialize:
4: for all  $(u, v)$  do
5:    $LM(u, v) \leftarrow 0$  ▷ label map  $LM$ 
6:  $R \leftarrow 0$  ▷ region counter  $R$ 

7: Scan the image from left to right and top to bottom:
8: for  $v \leftarrow 0 \dots N-1$  do
9:    $L_k \leftarrow 0$  ▷ current label  $L_k$ 
10:  for  $u \leftarrow 0 \dots M-1$  do
11:    if  $I(u, v)$  is a foreground pixel then
12:      if  $(L_k \neq 0)$  then ▷ continue existing region
13:         $LM(u, v) \leftarrow L$ 
14:      else
15:         $L_k \leftarrow LM(u, v)$ 
16:        if  $(L_k = 0)$  then ▷ hit new outer contour
17:           $R \leftarrow R + 1$ 
18:           $L_k \leftarrow R$ 
19:           $\mathbf{x}_S \leftarrow (u, v)$ 
20:           $\mathbf{c}_{\text{outer}} \leftarrow \text{TRACECONTOUR}(\mathbf{x}_S, 0, L_k, I, LM)$ 
21:           $\mathcal{C} \leftarrow \mathcal{C} \cup \{\mathbf{c}_{\text{outer}}\}$  ▷ collect new contour
22:           $LM(u, v) \leftarrow L_k$ 
23:        else ▷  $I(u, v)$  is a background pixel
24:          if  $(L \neq 0)$  then
25:            if  $(LM(u, v) = 0)$  then ▷ hit new inner contour
26:               $\mathbf{x}_S \leftarrow (u-1, v)$ 
27:               $\mathbf{c}_{\text{inner}} \leftarrow \text{TRACECONTOUR}(\mathbf{x}_S, 1, L_k, I, LM)$ 
28:               $\mathcal{C} \leftarrow \mathcal{C} \cup \{\mathbf{c}_{\text{inner}}\}$  ▷ collect new contour
29:             $L \leftarrow 0$ 
30: return  $(\mathcal{C}, LM)$ . ▷ return the set of contours and the label map

```

```

1: TRACECONTOUR( $\mathbf{x}_S, d_S, L_k, I, LM$ )
    $\mathbf{x}_S$ : start position,  $d_S$ : initial search direction,
    $L_k$ : label for this contour
    $I$ : original image,  $LM$ : label map.
   Traces and returns the contour starting at  $\mathbf{x}_S$ .

2:  $(\mathbf{x}_T, d_{\text{next}}) \leftarrow \text{FINDNEXTPOINT}(\mathbf{x}_S, d_S, I, LM)$ 
3:  $\mathbf{c} \leftarrow [\mathbf{x}_T]$  ▷ create a contour starting with  $\mathbf{x}_T$ 
4:  $\mathbf{x}_p \leftarrow \mathbf{x}_S$  ▷ previous position  $\mathbf{x}_p = (u_p, v_p)$ 
5:  $\mathbf{x}_c \leftarrow \mathbf{x}_T$  ▷ current position  $\mathbf{x}_c = (u_c, v_c)$ 
6:  $\text{done} \leftarrow (\mathbf{x}_S \equiv \mathbf{x}_T)$  ▷ isolated pixel?
7: while  $(\neg \text{done})$  do
8:    $LM(u_c, v_c) \leftarrow L_k$ 
9:    $d_{\text{search}} \leftarrow (d_{\text{next}} + 6) \bmod 8$ 
10:   $(\mathbf{x}_n, d_{\text{next}}) \leftarrow \text{FINDNEXTPOINT}(\mathbf{x}_c, d_{\text{search}}, I, LM)$ 
11:   $\mathbf{x}_p \leftarrow \mathbf{x}_c$ 
12:   $\mathbf{x}_c \leftarrow \mathbf{x}_n$ 
13:   $\text{done} \leftarrow (\mathbf{x}_p \equiv \mathbf{x}_S \wedge \mathbf{x}_c \equiv \mathbf{x}_T)$  ▷ back at start point?
14:  if  $(\neg \text{done})$  then
15:    APPEND( $\mathbf{c}, \mathbf{x}_n$ ) ▷ add point  $\mathbf{x}_n$  to contour  $\mathbf{c}$ 
16: return  $\mathbf{c}$ . ▷ return this contour



---


17: FINDNEXTPOINT( $\mathbf{x}_c, d, I, LM$ )
    $\mathbf{x}_c$ : start point,  $d$ : search direction,
    $I$ : original image,  $LM$ : label map.

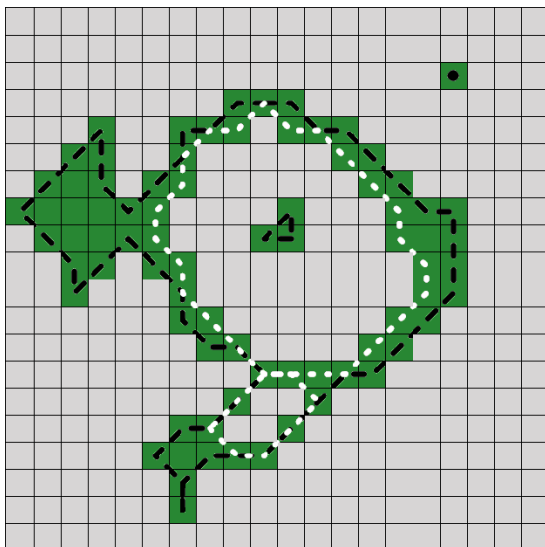
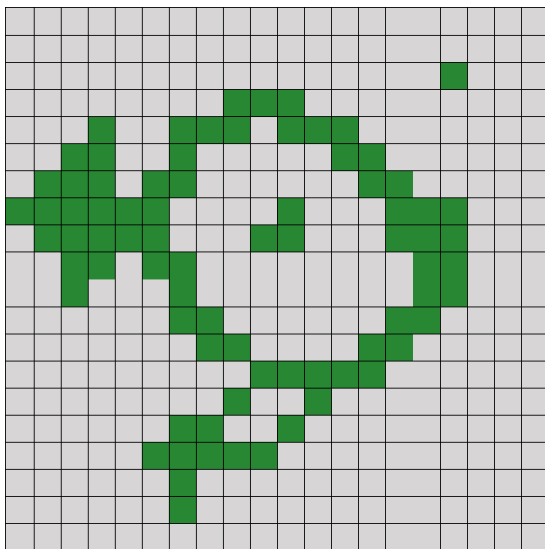
18: for  $i \leftarrow 0 \dots 6$  do ▷ search in 7 directions
19:    $\mathbf{x}' \leftarrow \mathbf{x}_c + \text{DELTA}(d)$  ▷  $\mathbf{x}' = (u', v')$ 
20:   if  $I(u', v')$  is a background pixel then
21:      $LM(u', v') \leftarrow -1$  ▷ mark background as visited (-1)
22:      $d \leftarrow (d + 1) \bmod 8$ 
23:   else ▷ found a nonbackground pixel at  $\mathbf{x}'$ 
24:     return  $(\mathbf{x}', d)$ 
25: return  $(\mathbf{x}_c, d)$ . ▷ found no next point, return start point

```

26: $\text{DELTA}(d) = (\Delta x, \Delta y)$, with

d	0	1	2	3	4	5	6	7
Δx	1	1	0	-1	-1	-1	0	1
Δy	0	1	1	1	0	-1	-1	-1

Primer

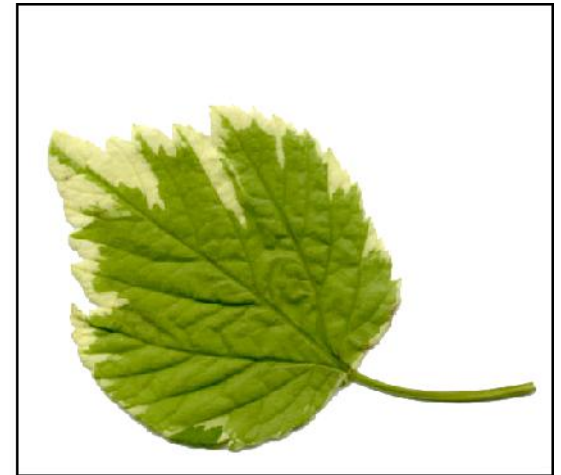
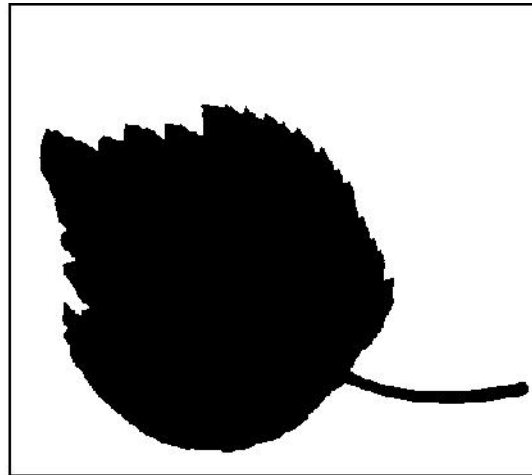
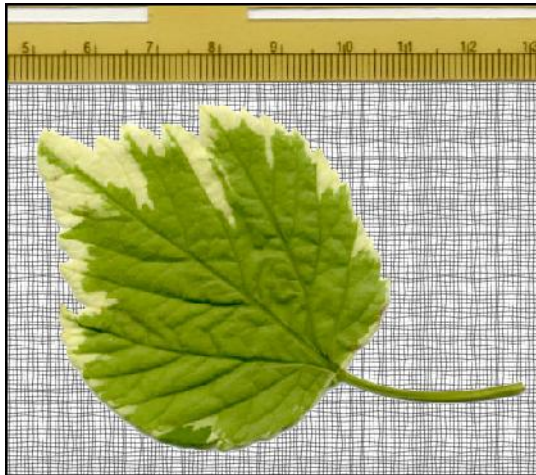


Predstavitve slikovnih regij

- Predstavitev z matriko
- Run Length Encoding (RLE)
- Absolutna verižna koda
- Diferenčna verižna koda

Predstavitev z matriko

- Najbolj klasična predstavitev
- Binarna maska določa regijo:



- Predstavitev ni odvisna vsebine slike
- Pogosto neučinkovita (prostorsko potratna)

Run Length Encoding (RLE)

- Kodiranje zaporedij slikovnih elementov ospredja s tremi parametri:

$$Run_i = \langle row_i, column_i, length_i \rangle$$

- Primer:

Bitmap										RLE	
	0	1	2	3	4	5	6	7	8	$\langle row, column, length \rangle$	
0											
1			×	×	×	×	×	×		$\langle 1, 2, 6 \rangle$	
2										$\langle 3, 4, 4 \rangle$	
3					×	×	×	×		$\langle 4, 1, 3 \rangle$	
4		×	×	×		×	×	×		$\langle 4, 5, 3 \rangle$	
5	×	×	×	×	×	×	×	×	×	$\langle 5, 0, 9 \rangle$	
6											

- Prvi parameter lahko spustimo, če je vrstica ista
- Enostavna brezizgubna metoda za kompresijo
- Že zelo dolgo, veliko uporabljana (faks, algoritmi za kompresijo slik, itd.)

Absolutna verižna koda

- Absolute Chain Code, tudi Freemanove kode

- Kodiranje obrisa regije

$$\mathbf{c}_{\mathcal{R}} = [\mathbf{x}_0, \mathbf{x}_1, \dots, \mathbf{x}_{M-1}] \text{ with } \mathbf{x}_i = \langle u_i, v_i \rangle$$

- Začnemo v nekem robnem slikovnem elementu in gremo po obrisu, pri čemer vsak korak zakodiramo:

$$\mathbf{c}'_{\mathcal{R}} = [c'_0, c'_1, \dots, c'_{M-1}]$$

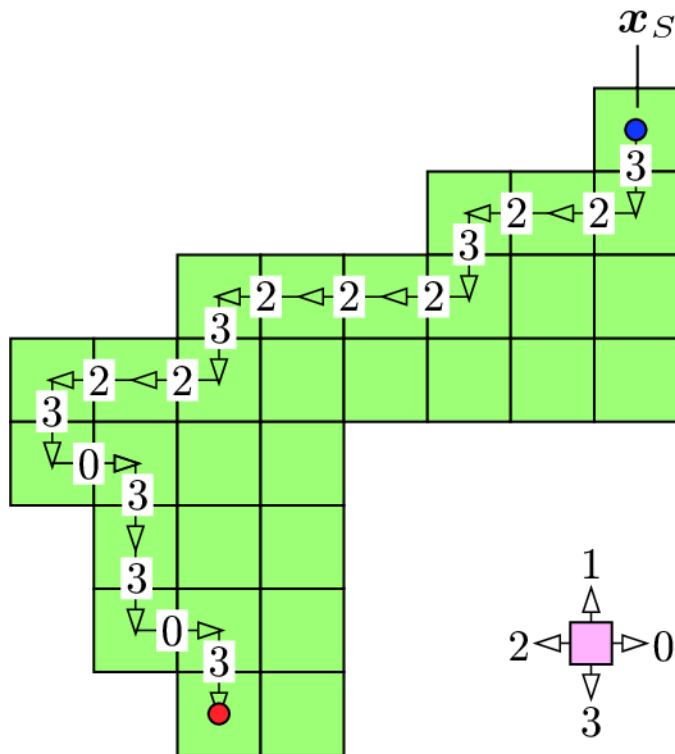
$$c'_i = \text{CODE}(\Delta u_i, \Delta v_i)$$

$$(\Delta u_i, \Delta v_i) = \begin{cases} (u_{i+1} - u_i, v_{i+1} - v_i) & \text{for } 0 \leq i < M-1 \\ (u_0 - u_i, v_0 - v_i) & \text{for } i = M-1, \end{cases}$$

Δu	1	1	0	-1	-1	-1	0	1
Δv	0	1	1	1	0	-1	-1	-1
$\text{CODE}(\Delta u, \Delta v)$	0	1	2	3	4	5	6	7

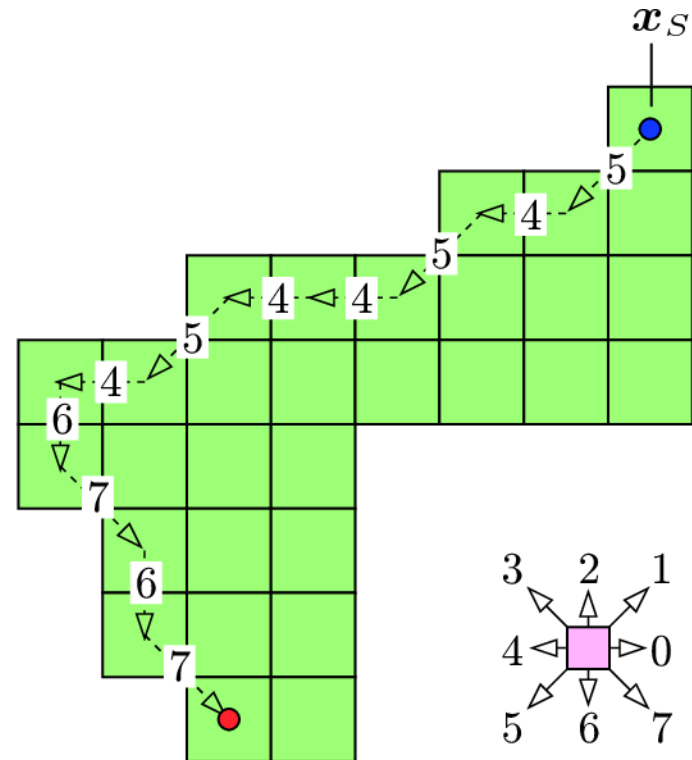
Primer

- Lahko upoštevamo 4- ali 8-sosednost



4-Chain Code

3223222322303303...111

 $length = 28$ 

8-Chain Code

54544546767...222

$$length = 16 + 6\sqrt{2} \approx 24,5$$

- Koda je odvisna od začetne točke in orientacije obrisa

Diferenčna verižna koda

- Differential chain code
- Namesto kodiranja razlike pozicij, kodiramo razlike smeri

$$c''_i = \begin{cases} (c'_{i+1} - c'_i) \bmod 8 & \text{for } 0 \leq i < M-1 \\ (c'_0 - c'_i) \bmod 8 & \text{for } i = M-1 \end{cases}$$

- Primer:

$$c'_{\mathcal{R}} = [5, 4, 5, 4, 4, 5, 4, 6, 7, 6, 7, \dots 2, 2, 2]$$

$$c''_{\mathcal{R}} = [7, 1, 7, 0, 1, 7, 2, 1, 7, 1, 1, \dots 0, 0, 3]$$

- Sedaj lahko regijo zarotiramo za 90 stopinj, pa se koda ne spremeni
- Še vedno pa je koda odvisna od začetne pozicije

Števila oblik

- Shape numbers
- Verižne kode moramo poravnati, da imajo enako začetno točko, potem jih lahko primerjamo
- Elemente kode interpretiramo kot števke v bazi b (8 ali 4):

$$\text{VAL}(c''_{\mathcal{R}}) = c''_0 \cdot b^0 + c''_1 \cdot b^1 + \dots = \sum_{i=0}^{M-1} c''_i \cdot b^{i-1}$$

- Poiščemo maksimum in kodo zamaknemo za k mest

$$k_{\max} = \arg \max_{0 \leq k < M} \text{VAL}(c''_{\mathcal{R}} \triangleright k)$$

- Ni potrebno dejansko tega računati, lahko samo sortiramo

- Primer: $c''_{\mathcal{R}} = [0, 1, 3, 2, \dots, 9, 3, 7, 4]$

$$c''_{\mathcal{R}} \triangleright 2 = [7, 4, 0, 1, 3, 2, \dots, 9, 3]$$

- Zdaj koda ni več odvisna od začetnega položaja, lahko je regija rotirana za 90 stopinj
- Še vedno pa predstavitev ni invariantna na poljubne rotacije in skaliranje
 - Rešitev: Fourierjevi deskriptorji

Lastnosti binarnih regij

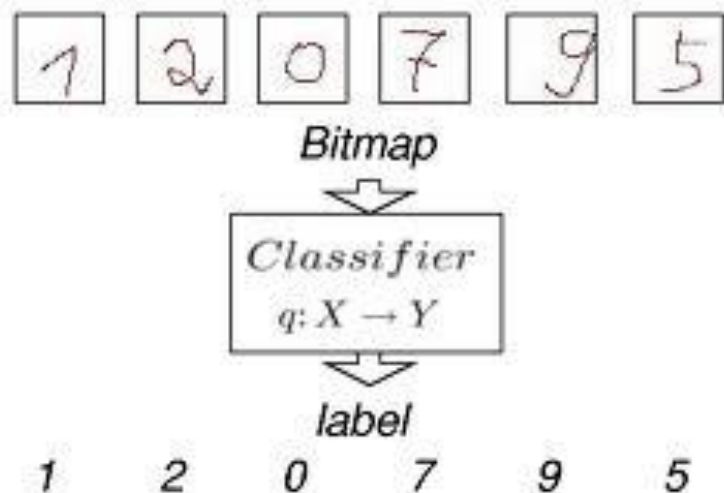
- Kako opisati sliko
 - Matrika števil: zaporedje slikovnih elementov
 - „Pretežno bel krog na pretežno zeleni podlagi.“
 - „Nogometna žoga na travi.“



- Zelo težko je priti do semantičnega opisa slike
- Lažje posamezne regije na sliki opišemo z enostavnimi lastnostmi

Značilnice

- Ko imamo regije, jih opišemo z značilnicami
- Na osnovi vektorjev značilnic lahko regije primerjamo med seboj
 - Lahko iščemo podobnosti med regijami
 - Lahko merimo in preverjamo dimenzije in oblike
- Primer: OCR:



Geometrične značilnice

- Geometrične značilnice definiramo za binarno regijo

$$\mathcal{R} = \{\mathbf{x}_0, \mathbf{x}_1 \dots \mathbf{x}_{N-1}\} = \{(u_0, v_0), (u_1, v_1) \dots (u_{N-1}, v_{N-1})\}$$

- Obseg (Perimeter)
- Površina (Area)
- Kompaktnost oz. okroglost (Compactness and roundness)
- Obsegajoč pravokotnik (Bounding box)
- Konveksna ovojnica (Convex hull)

Obseg

- Perimeter
- Dolžina zunanjega obsega povezane regije
- V primeru 4-sosednosti bo dolžina večja od dejanske
- Ponavadi uporabljamo 8-sosedno Verižno kodo

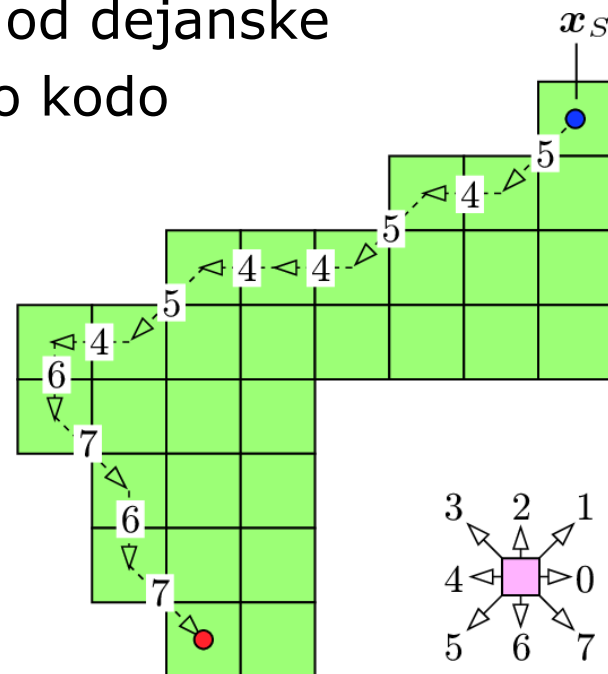
$$c'_R = [c'_0, c'_1, \dots, c'_{M-1}]$$

$$\text{Perimeter}(\mathcal{R}) = \sum_{i=0}^{M-1} \text{length}(c'_i)$$

$$\text{with } \text{length}(c) = \begin{cases} 1 & \text{for } c = 0, 2, 4, 6 \\ \sqrt{2} & \text{for } c = 1, 3, 5, 7 \end{cases}$$

- To nam vrne nekoliko prevelik obseg
 - Zaradi diskretizacije poševnih ravnih črt
 - Normaliziramo:

$$P(\mathcal{R}) \approx \text{Perimeter}_{\text{corr}}(\mathcal{R}) = 0.95 \cdot \text{Perimeter}(\mathcal{R})$$



8-Chain Code

54544546767...222

$$\text{length} = 16 + 6\sqrt{2} \approx 24,5$$

Površina

- Area
- Število slikovnih elementov v regiji:

$$A(\mathcal{R}) = |\mathcal{R}| = N.$$

- Lahko tudi ocenimo iz obrisa
 - če regija nima lukenj
 - Uporabimo zapis v Verižni kodi:

$$A(\mathcal{R}) \approx \frac{1}{2} \cdot \left| \sum_{i=0}^{M-1} (u_i \cdot v_{(i+1) \bmod M} - u_{(i+1) \bmod M} \cdot v_i) \right|$$

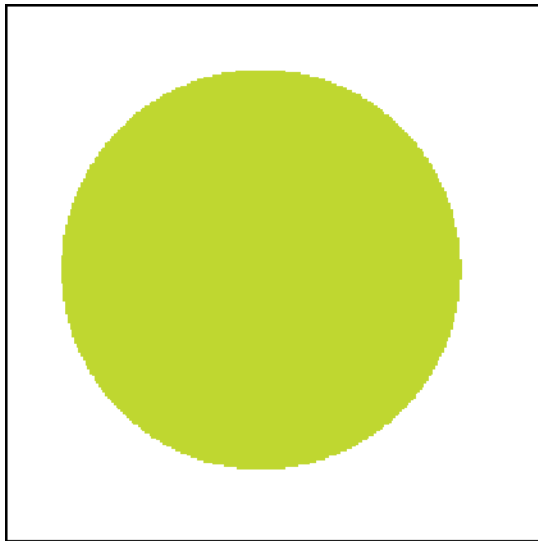
- Tako obseg kot površina sta
 - Neodvisna od translacije in rotacije
 - Odvisna od skale (velikosti, oddaljenosti)

Kompaktnost oz. okroglost

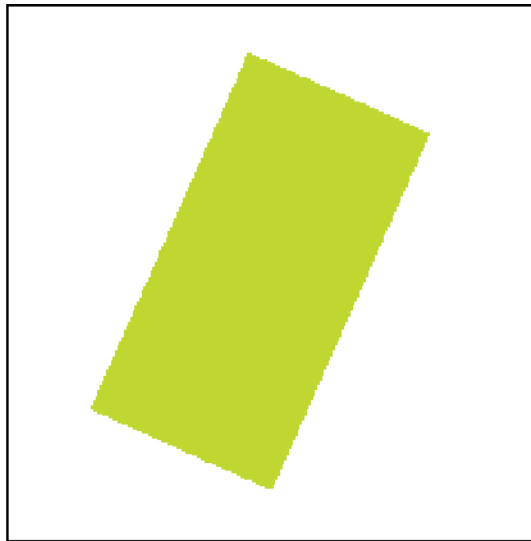
- Compactness and circularity
- Meri kako kompaktna oz. okrogla je regija

$$\text{Circularity}(\mathcal{R}) = 4\pi \cdot \frac{A(\mathcal{R})}{P^2(\mathcal{R})}$$

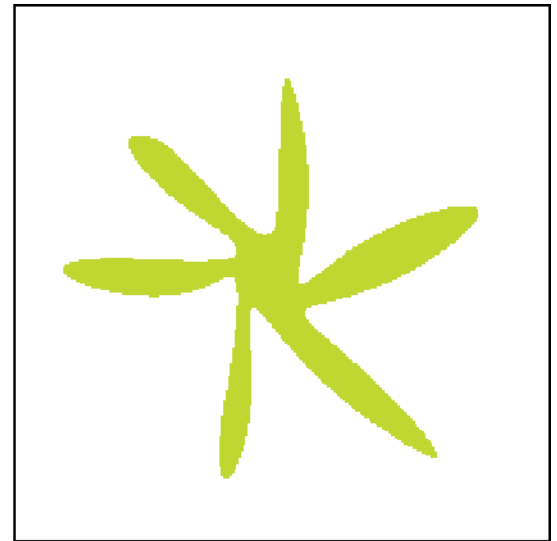
- Invariantna na translacijo, rotacijo in skalo
- Primer:



1.001



0.672

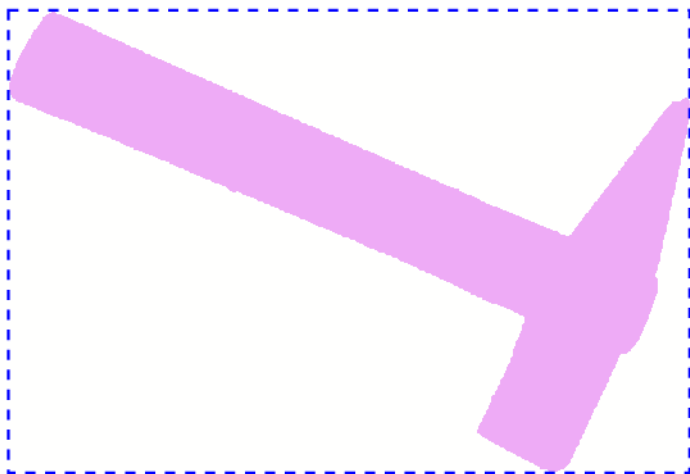


0.086

Obsegajoč pravokotnik

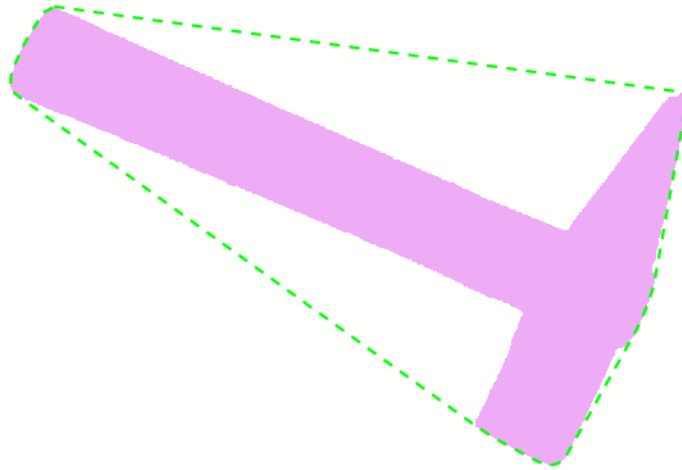
- Bounding box
- Najmanjši pravokotnik z osmi vzporednimi s koordinatnimi osmi, ki vsebuje celotno regijo

$$\text{BoundingBox}(\mathcal{R}) = \langle u_{\min}, u_{\max}, v_{\min}, v_{\max} \rangle$$



Konveksna ovojnica

- Convex hull
- Najmanjši poligon, ki vsebuje vse elemente regije
- Računamo jo lahko z algoritmom QuickHull (kompleksnost $O(NH)$)



- Konveksnost = dolžina konveksne ovojnice / obseg regije
- Gostota = površina regije / površina konveksne ovojnice
- Premer = razdalja med dvema maksimalno oddaljenima točkama na konveksni ovojnici

Statistične značilnice oblike

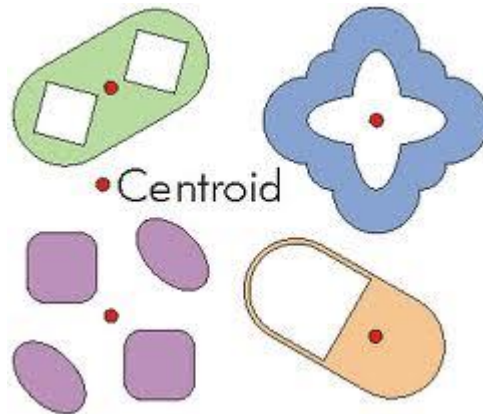
- Elemente regije obravnavamo kot točke točke porazdeljene v 2D prostoru
- Centroid
- Momanti
- Centralni momenti
- Normalizirani centralni momenti
- Geometrične lastnosti, ki temeljijo na momentih
 - Orientacija
 - Ekscentričnost
 - Invariantni momenti

Centroid

- Težišče regije
- Aritmetična vsota koordinat v smereh x in y

$$\bar{x} = \frac{1}{|\mathcal{R}|} \cdot \sum_{(u,v) \in \mathcal{R}} u \quad \text{and} \quad \bar{y} = \frac{1}{|\mathcal{R}|} \cdot \sum_{(u,v) \in \mathcal{R}} v$$

- Primeri:



Momenti

- Splošni statistični koncept:

$$m_{pq} = \sum_{(u,v) \in \mathcal{R}} I(u,v) \cdot u^p v^q$$

- Za binarne slike:

$$m_{pq} = \sum_{(u,v) \in \mathcal{R}} u^p v^q$$

- Površina:

$$A(\mathcal{R}) = |\mathcal{R}| = \sum_{(u,v) \in \mathcal{R}} 1 = \sum_{(u,v) \in \mathcal{R}} u^0 v^0 = m_{00}(\mathcal{R})$$

- Centroid:

$$\bar{x} = \frac{1}{|\mathcal{R}|} \cdot \sum_{(u,v) \in \mathcal{R}} u^1 v^0 = \frac{m_{10}(\mathcal{R})}{m_{00}(\mathcal{R})} \quad \bar{y} = \frac{1}{|\mathcal{R}|} \cdot \sum_{(u,v) \in \mathcal{R}} u^0 v^1 = \frac{m_{01}(\mathcal{R})}{m_{00}(\mathcal{R})}$$

Centralni momenti

- Vzamemo centroid za referenčno točko – središče koordinatnega sistema

$$\mu_{pq}(\mathcal{R}) = \sum_{(u,v) \in \mathcal{R}} I(u, v) \cdot (u - \bar{x})^p \cdot (v - \bar{y})^q$$

- Za binarne slike (regije):

$$\mu_{pq}(\mathcal{R}) = \sum_{(u,v) \in \mathcal{R}} (u - \bar{x})^p \cdot (v - \bar{y})^q$$

- Momenti tako niso več odvisni od položaja regije na sliki

- Normalizirani centralni momenti:

- Normalizirati moramo za faktor $s^{(p+q+2)}$

$$\bar{\mu}_{pq}(\mathcal{R}) = \mu_{pq} \cdot \left(\frac{1}{\mu_{00}(\mathcal{R})} \right)^{(p+q+2)/2}$$

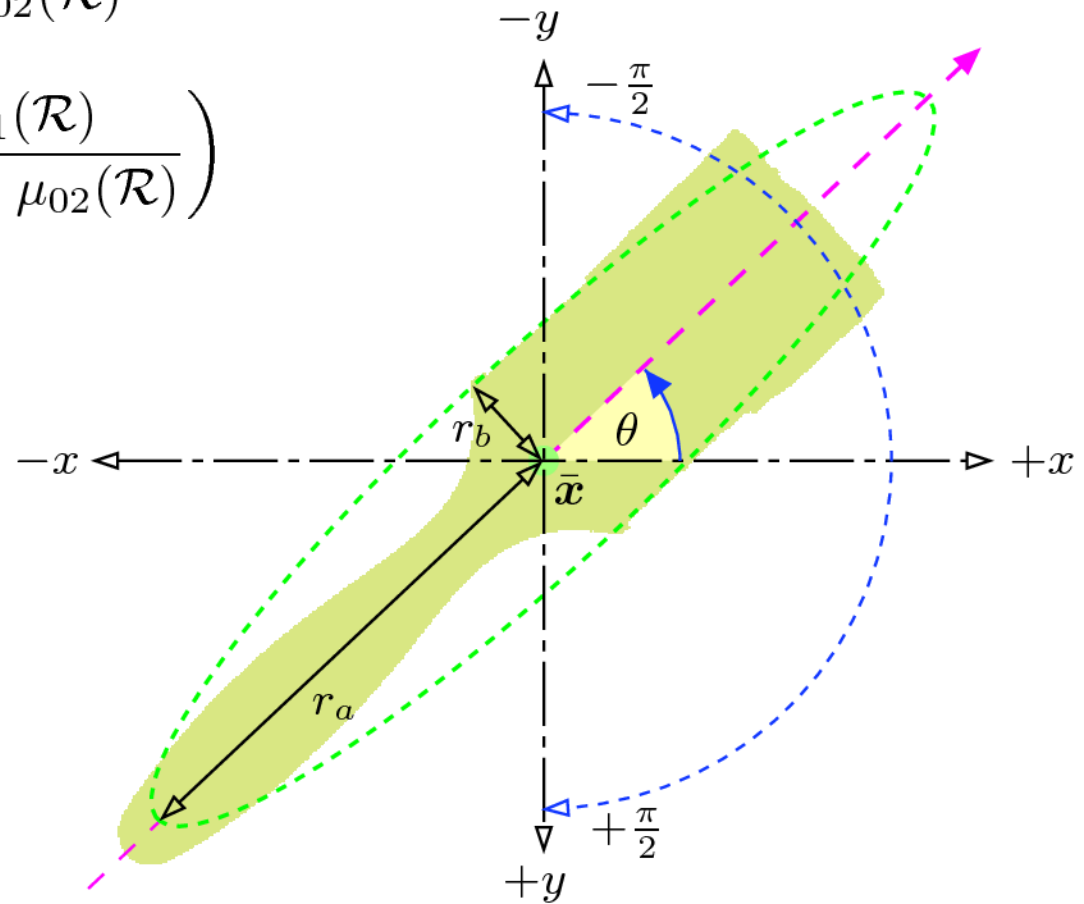
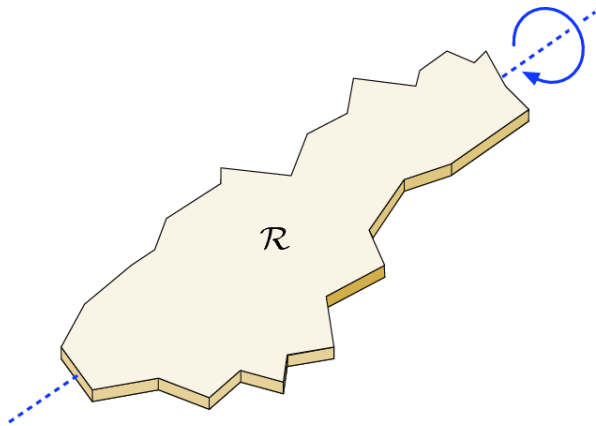
- Centralni momenti so tako invariantni tudi na skalo
 - Primerni za klasifikacijo regij

Orientacija

- Smer glavne osi

$$\tan(2\theta_{\mathcal{R}}) = \frac{2 \cdot \mu_{11}(\mathcal{R})}{\mu_{20}(\mathcal{R}) - \mu_{02}(\mathcal{R})}$$

$$\theta_{\mathcal{R}} = \frac{1}{2} \tan^{-1} \left(\frac{2 \cdot \mu_{11}(\mathcal{R})}{\mu_{20}(\mathcal{R}) - \mu_{02}(\mathcal{R})} \right)$$



Orientacija

- Vizualizacija vektorja smeri orientacije:

$$\mathbf{x} = \bar{\mathbf{x}} + \lambda \cdot \mathbf{x}_d = \begin{pmatrix} \bar{x} \\ \bar{y} \end{pmatrix} + \lambda \cdot \begin{pmatrix} \cos(\theta_{\mathcal{R}}) \\ \sin(\theta_{\mathcal{R}}) \end{pmatrix}$$

$$\tan(2\theta_{\mathcal{R}}) = \frac{2 \cdot \mu_{11}(\mathcal{R})}{\mu_{20}(\mathcal{R}) - \mu_{02}(\mathcal{R})} = \frac{A}{B} = \frac{\sin(2\theta_{\mathcal{R}})}{\cos(2\theta_{\mathcal{R}})}$$

$$x_d = \cos(\theta_{\mathcal{R}}) = \begin{cases} 0 & \text{for } A = B = 0 \\ \left[\frac{1}{2} \left(1 + \frac{B}{\sqrt{A^2 + B^2}} \right) \right]^{\frac{1}{2}} & \text{otherwise,} \end{cases}$$

$$y_d = \sin(\theta_{\mathcal{R}}) = \begin{cases} 0 & \text{for } A = B = 0 \\ \left[\frac{1}{2} \left(1 - \frac{B}{\sqrt{A^2 + B^2}} \right) \right]^{\frac{1}{2}} & \text{for } A \geq 0 \\ -\left[\frac{1}{2} \left(1 - \frac{b}{\sqrt{A^2 + B^2}} \right) \right]^{\frac{1}{2}} & \text{for } A < 0, \end{cases}$$

Ekscentričnost

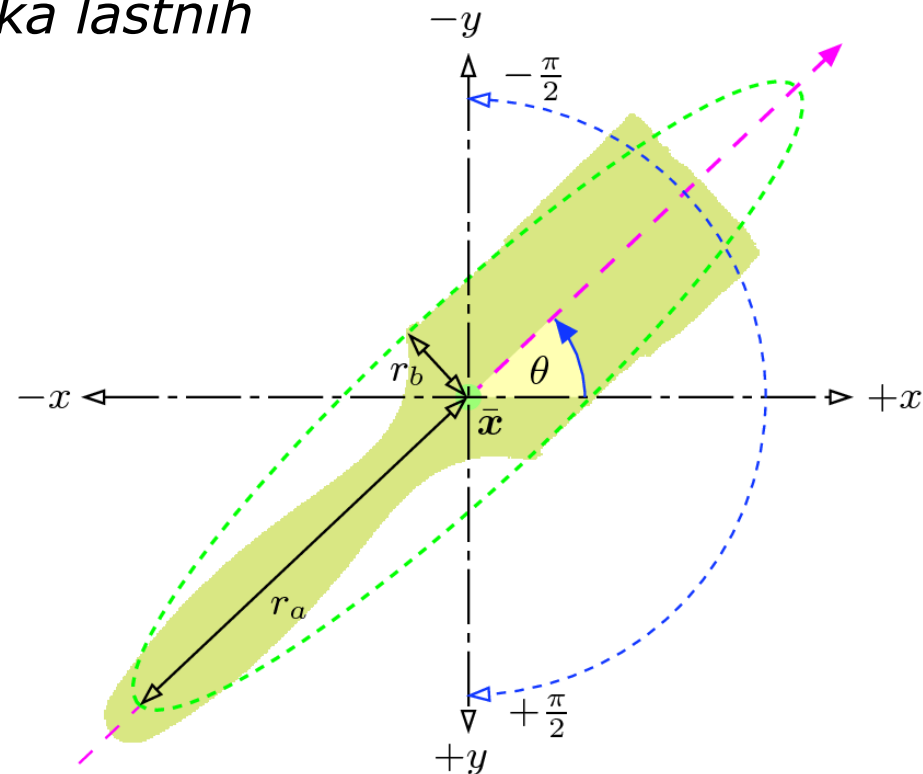
- Poldogovatost regije

$$Ecc(\mathcal{R}) = \frac{a_1}{a_2} = \frac{\mu_{20} + \mu_{02} + \sqrt{(\mu_{20} - \mu_{02})^2 + 4 \cdot \mu_{11}^2}}{\mu_{20} + \mu_{02} - \sqrt{(\mu_{20} - \mu_{02})^2 + 4 \cdot \mu_{11}^2}}$$

- $a_1=2\lambda_1$, $a_2=2\lambda_2$ sta večkratnika lastnih vrednosti matrike

$$\mathbf{A} = \begin{pmatrix} \mu_{20} & \mu_{11} \\ \mu_{11} & \mu_{02} \end{pmatrix}$$

- Vrednosti med 1 in ∞
 - $Ecc=1 \Rightarrow$ krog
 - $Ecc>1 \Rightarrow$ podolgovata regija
- Invariantna na orientacijo in velikost



Ekscentričnost

- Vizualizacija elipse, ki ponazarja podolgovitost
- Dolžine osi elipse:

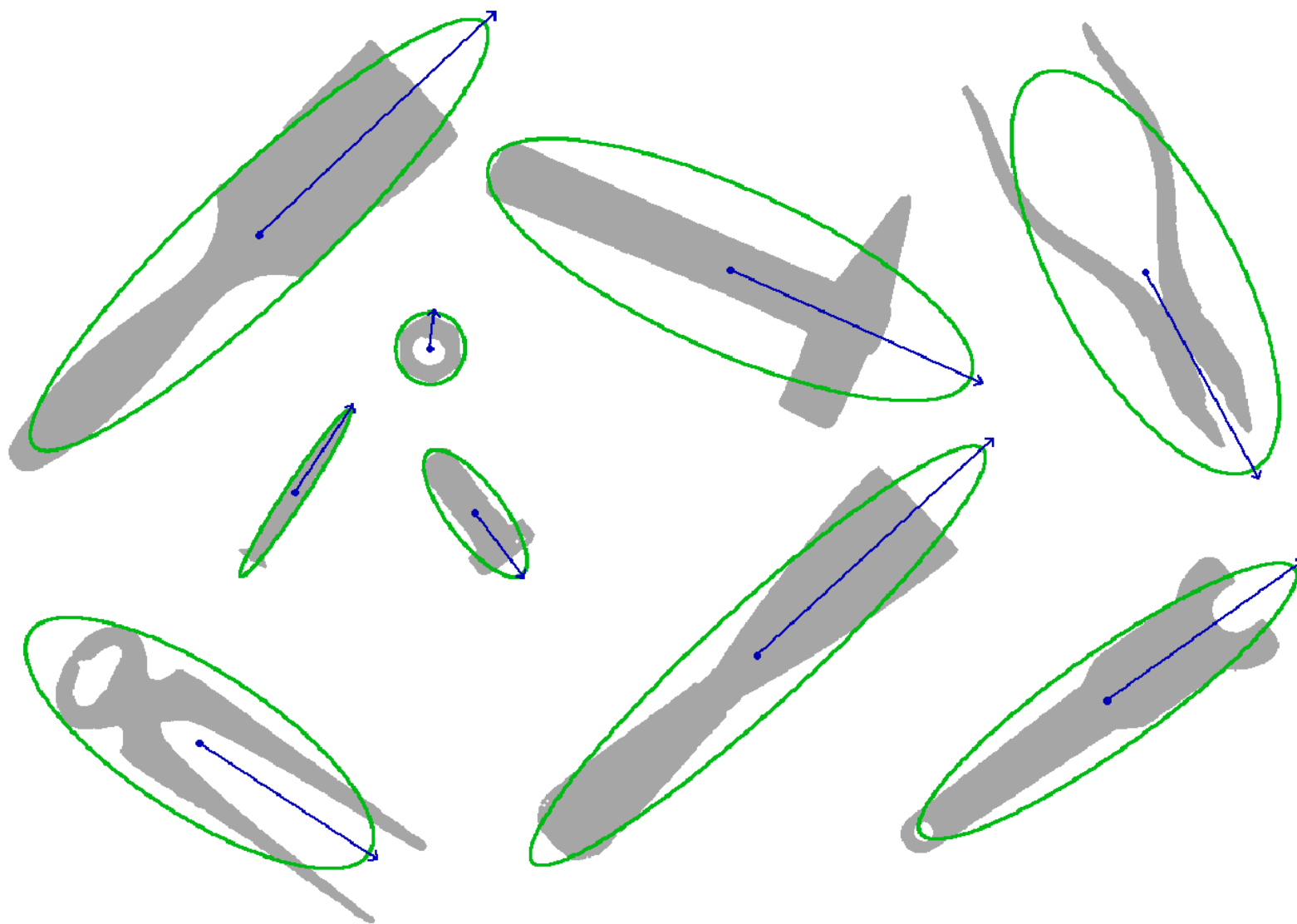
$$r_a = 2 \cdot \left(\frac{\lambda_1}{|\mathcal{R}|} \right)^{\frac{1}{2}} = \left(\frac{2 a_1}{|\mathcal{R}|} \right)^{\frac{1}{2}}$$

$$r_b = 2 \cdot \left(\frac{\lambda_2}{|\mathcal{R}|} \right)^{\frac{1}{2}} = \left(\frac{2 a_2}{|\mathcal{R}|} \right)^{\frac{1}{2}}$$

- Parametrična enačba elipse:

$$\begin{aligned} \begin{pmatrix} x(t) \\ y(t) \end{pmatrix} &= \begin{pmatrix} \bar{x} \\ \bar{y} \end{pmatrix} + \begin{pmatrix} \cos(\theta) & -\sin(\theta) \\ \sin(\theta) & \cos(\theta) \end{pmatrix} \cdot \begin{pmatrix} r_a \cdot \cos(t) \\ r_b \cdot \sin(t) \end{pmatrix} \\ &= \begin{pmatrix} \bar{x} + \cos(\theta) \cdot r_a \cdot \cos(t) - \sin(\theta) \cdot r_b \cdot \sin(t) \\ \bar{y} + \sin(\theta) \cdot r_a \cdot \cos(t) + \cos(\theta) \cdot r_b \cdot \sin(t) \end{pmatrix} \end{aligned}$$

Primer



Invariantni momenti

- Hujevi momenti oz. Invariantni momenti
- So invariantni tudi na orientacijo

$$H_1 = \bar{\mu}_{20} + \bar{\mu}_{02}$$

$$H_2 = (\bar{\mu}_{20} - \bar{\mu}_{02})^2 + 4\bar{\mu}_{11}^2$$

$$H_3 = (\bar{\mu}_{30} - 3\bar{\mu}_{12})^2 + (3\bar{\mu}_{21} - \bar{\mu}_{03})^2$$

$$H_4 = (\bar{\mu}_{30} + \bar{\mu}_{12})^2 + (\bar{\mu}_{21} + \bar{\mu}_{03})^2$$

$$H_5 = (\bar{\mu}_{30} - 3\bar{\mu}_{12}) \cdot (\bar{\mu}_{30} + \bar{\mu}_{12}) \cdot [(\bar{\mu}_{30} + \bar{\mu}_{12})^2 - 3(\bar{\mu}_{21} + \bar{\mu}_{03})^2] \\ + (3\bar{\mu}_{21} - \bar{\mu}_{03}) \cdot (\bar{\mu}_{21} + \bar{\mu}_{03}) \cdot [3(\bar{\mu}_{30} + \bar{\mu}_{12})^2 - (\bar{\mu}_{21} + \bar{\mu}_{03})^2]$$

$$H_6 = (\bar{\mu}_{20} - \bar{\mu}_{02}) \cdot [(\bar{\mu}_{30} + \bar{\mu}_{12})^2 - (\bar{\mu}_{21} + \bar{\mu}_{03})^2] \\ + 4\bar{\mu}_{11} \cdot (\bar{\mu}_{30} + \bar{\mu}_{12}) \cdot (\bar{\mu}_{21} + \bar{\mu}_{03})$$

$$H_7 = (3\bar{\mu}_{21} - \bar{\mu}_{03}) \cdot (\bar{\mu}_{30} + \bar{\mu}_{12}) \cdot [(\bar{\mu}_{30} + \bar{\mu}_{12})^2 - 3(\bar{\mu}_{21} + \bar{\mu}_{03})^2] \\ + (3\bar{\mu}_{12} - \bar{\mu}_{30}) \cdot (\bar{\mu}_{21} + \bar{\mu}_{03}) \cdot [3(\bar{\mu}_{30} + \bar{\mu}_{12})^2 - (\bar{\mu}_{21} + \bar{\mu}_{03})^2]$$

- Ponavadi se uporablja logaritme vrednosti

Projekcije

- Enodimenzionalna predstavitev vsebine slike
- Slikovne elemente projiciramo na x in y koordinato:

$$P_{\text{hor}}(v_0) = \sum_{u=0}^{M-1} I(u, v_0) \quad \text{for } 0 < v_0 < N$$

$$P_{\text{ver}}(u_0) = \sum_{v=0}^{N-1} I(u_0, v) \quad \text{for } 0 < u_0 < M$$

- Včasih tako lahko ločimo dokument na smiselne celote
- Projiciramo lahko tudi na glavni osi regije



Topološke lastnosti

- Zajamejo strukturne lastnosti
- So invariantne tudi na zelo močne transformacije slike
- Konveksnost regije
- Število lukenj: $N_L(\mathcal{R})$
- Eulerjevo število: $N_E(\mathcal{R}) = N_R(\mathcal{R}) - N_L(\mathcal{R})$